

ГЛАВНОЕ УПРАВЛЕНИЕ ГИДРОМЕТЕОРОЛОГИЧЕСКОЙ СЛУЖБЫ
ПРИ СОВЕТЕ МИНИСТРОВ СССР

УПРАВЛЕНИЕ ГИДРОМЕТЕОРОЛОГИЧЕСКОЙ СЛУЖБЫ КИРГИЗСКОЙ ССР

РЕСУРСЫ ПОВЕРХНОСТНЫХ ВОД СССР

КАТАЛОГ ЛЕДНИКОВ СССР

ТОМ 14

СРЕДНЯЯ АЗИЯ

ВЫПУСК 1

СЫРДАРЬЯ

часть 6

БАССЕЙН р. АТБАШИ



ГИДРОМЕТЕОИЗДАТ
ЛЕНИНГРАД · 1974

ГЛАВНОЕ УПРАВЛЕНИЕ ГИДРОМЕТЕОРОЛОГИЧЕСКОЙ СЛУЖБЫ
ПРИ СОВЕТЕ МИНИСТРОВ СССР

УПРАВЛЕНИЕ ГИДРОМЕТЕОРОЛОГИЧЕСКОЙ СЛУЖБЫ КИРГИЗСКОЙ ССР

РЕСУРСЫ ПОВЕРХНОСТНЫХ ВОД СССР

КАТАЛОГ ЛЕДНИКОВ СССР

ТОМ 14

СРЕДНЯЯ АЗИЯ

ВЫПУСК 1

СЫРДАРЬЯ

Часть 6

БАССЕЙН р. АТБАШИ

Н. П. ПРОКОПОВА, В. П. ФАТЕЕВ



ГИДРОМЕТОРИЗДАТ
ЛЕНИНГРАД • 1974

УДК 556.124

Каталог ледников бассейна р. Атбashi просмотрен и отредактирован в отделе гляциологии Института географии АН СССР. Каталог рекомендован к печати секцией гляциологии Межведомственного геофизического комитета при Президиуме АН СССР.

Ответственный редактор
О. Н. ВИНОГРАДОВ

Редакторы
А. М. ГРИНБЕРГ, Г. И. КОНОВАЛОВА

В Каталоге дается характеристика географического положения, морфологии и режима ледников, климатических условий их существования. Приводятся основные сведения о ледниках, экспедиционных исследованиях ледников, библиография.

Рассчитан на географов, гляциологов, гидрологов, метеорологов.

К 0296-003
069(02)-74

© Управление гидрометеорологической службы
Киргизской ССР (УГМС КиргССР), 1974 г.

ПРЕДИСЛОВИЕ

Каталог ледников СССР, том 14 — Средняя Азия, вып. 1 — Сырдарья, часть 6, посвящен ледникам бассейна р. Атбashi.

Каталог состоит из схем, таблиц, графического материала, фотографий и текстовой части.

Характеристика географического положения, морфологии, климатических условий и режима ледников составлена на основании обработки материалов аэрофотосъемки и материалов экспедиционного обследования части ледников, а также литературных источников.

Основными таблицами Каталога являются:

Таблица I содержит сведения о 284 ледниках (с приложением пояснений к этой таблице);

Таблица II — Список гидрометеорологических станций и постов в районе ледников;

Таблица III — Список суммарных осадкомеров и снегомерных пунктов в районе ледников;

Таблица IV — Экспедиционные и стационарные исследования ледников;

Таблица V — Список работ, содержащих сведения о ледниках.

Основные таблицы составлены в соответствии с «Руководством по составлению Каталога ледников СССР».

Таблица I содержит сведения о 284 ледниках общей площадью 113,7 км². В таблице приводятся сведения о размерах и высотном положении ледников, их морфологическом типе и экспозиции. Для части ледников приведены сведения о высоте фирновой линии, площади абляции и степени покрытия их поверхности моренным материалом. Для нескольких ледников подсчитаны объемы льда по их площади и мощности, определенной во время экспедиционных работ.

Каждый ледник размером более 0,1 км² имеет свой порядковый номер. На схемах расположения ледников (рис. 13—18) принята нумерация ледников по часовой стрелке. Порядок нумерации ледников сохраняется во всех таблицах, на схемах и в текстовой части.

Основой для получения морфологических характеристик ледников послужили крупномасштабные карты издания 1962 г. и материалы аэрофотосъемок 1956, 1959, 1962, 1963, 1964 гг. Часть ледников была обследована экспедиционным путем, а в 1969 г. проведено аэрообследование ледни-

ков снегомерно-гидрографической партией УГМС КиргССР.

Перед началом картометрических работ проводилась корректировка крупномасштабных карт, так как изображение ледников на картах часто не соответствует действительности, а иногда целые участки оледенения на картах вообще не отражены.

Контуры ледников и гляциологическая нагрузка с аэрофотоснимков переносились на карты, после чего проводились измерения. Измерения длин ледников проводились в два приема циркулем с постоянным раствором 2 мм, а площади — палеткой с размером ячейки 1 мм². Длины и площади ледников приведены в табл. I.

Абсолютные высоты нижней границы, низшей точки открытой части и высшей точки ледника определялись по картам с точностью до 10 м.

Морфологические типы ледников определялись по аэрофотоснимкам, экспозиция — по откорректированным крупномасштабным картам.

В табл. II, III приводятся сведения о гидрометеорологических станциях и постах, суммарных осадкомерах и снегомерных пунктах в районе ледников.

Таблица IV содержит сведения об экспедиционных и стационарных исследованиях ледников.

В таблице V приводится список опубликованных работ, содержащих сведения о районе оледенения. Следует отметить, что литература о ледниках бассейна р. Атбashi отсутствует, поэтому литературные источники, включенные в таблицу, в основном освещают природные условия района.

Кроме основных таблиц в тексте приводятся дополнительные таблицы, характеризующие климатические условия (табл. 1—5) и гидрологический режим бассейна (табл. 6, 7), распределение ледников по хребтам, частным бассейнам, морфологическим типам, экспозициям и величине (табл. 8—12). Приводятся высотные характеристики ледников (табл. 13).

Настоящая часть Каталога ледников подготовлена сотрудниками снегомерно-гидрографической партии УГМС КиргССР. Кроме авторов, в проведении экспедиционных работ и камеральной обработке материалов принимали участие Ю. П. Барбат, Н. Я. Инутин, Н. В. Максимов, Н. И. Попов, Г. Л. Розенберг, А. П. Рябов, Л. Г. Черкасов, Г. П. Шуменко, Р. И. Янова.

ДЕЛЕНИЕ КАТАЛОГА ЛЕДНИКОВ СССР НА ТОМА, ВЫПУСКИ И ЧАСТИ

Подразделение Каталога ледников СССР на тома и выпуски полностью соответствует подразделению на тома и выпуски справочного издания «Ресурсы поверхностных вод СССР» (рис. 1), ко-

дания «Ресурсы поверхностных вод СССР», Каталог ледников СССР составляется лишь на районы, охватываемые томами 1, 3, 8, 9, 13—17, 19, 20 этого издания.

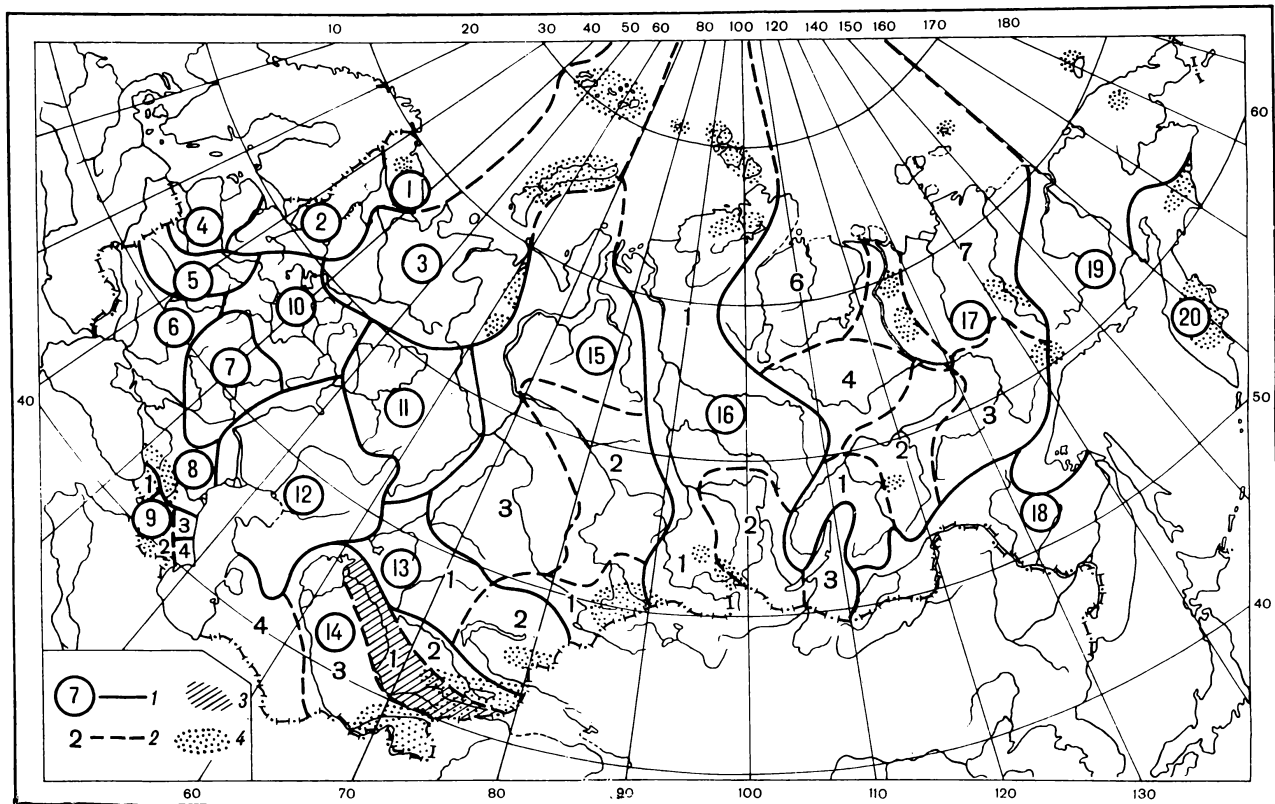


Рис. 1. Схема деления территории СССР на тома и выпуски Каталога ледников

1 — номера томов и границы отнесенных к ним территорий; 2 — номера выпусков и границы отнесенных к ним территорий; 3 — территория, сведения о которой включены в том 14, вып. 1 — Сырдарья; 4 — районы современного оледенения

торое состоит из 20 томов, характеризующих всю территорию Советского Союза. В основу разделения справочника на тома положен принцип принадлежности территории к крупным речным бассейнам.

Поскольку области современного оледенения находятся не в каждом из 20 районов — томов из-

В связи с неравномерностью распределения оледенения по территории СССР в пределах выделенных томов и отдельных выпусков предусматривается издание нескольких частей Каталога ледников СССР (см. Список). Так, том 14 — Средняя Азия, вып. 1 — Сырдарья — разделен на 10 частей, включая часть 6 — Бассейн р. Атбаси (рис. 2).

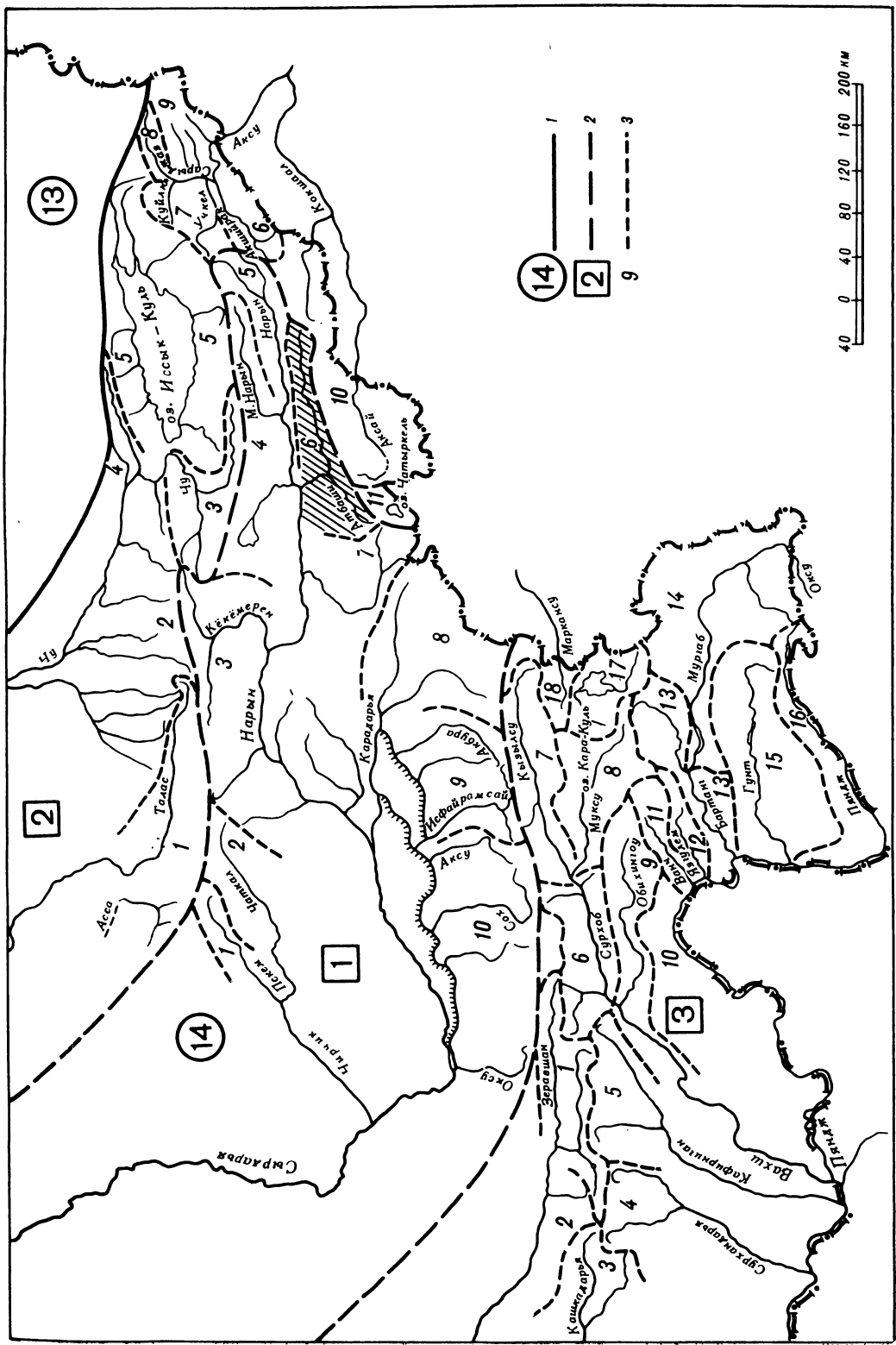


Рис. 2. Схема деления на выпуски и части тома 14 — Средняя Азия — Каталога СССР
1 — номера тюков и границы отнесенных к ним территорий; 2 — номера выпусков и границы отнесенных к ним территорий
(штриховой выделена часть 6, вып. 1, том 14)

СПИСОК ТОМОВ, ВЫПУСКОВ И ЧАСТЕЙ КАТАЛОГА ЛЕДНИКОВ СССР

Том 1. КОЛЬСКИЙ ПОЛУОСТРОВ

Часть 1. Хибинские горы (издано в 1966 г.)

Том 3. СЕВЕРНЫЙ КРАЙ

Часть 1. Земля Франца-Иосифа (издано в 1965 г.)
Часть 2. Новая Земля
Часть 3. Урал (издано в 1966 г.)

Том 8. СЕВЕРНЫЙ КАВКАЗ

Часть 1. Бассейны рек Белой, Лабы, Урупа (издано в 1967 г.)
Часть 2. Бассейны рек Большого Зеленчука, Малого Зеленчука (издано в 1967 г.)
Часть 3. Бассейн р. Теберды (издано в 1967 г.)
Часть 4. Бассейн верховьев р. Кубани (издано в 1967 г.)
Часть 5. Бассейны рек Малки, Баксана (издано в 1970 г.)
Часть 6. Бассейн р. Чегема (издано в 1973 г.)
Часть 7. Бассейн р. Черека (издано в 1973 г.)
Часть 8. Бассейн р. Уруха
Часть 9. Бассейн р. Ардона
Часть 10. Бассейны рек Фиагдона, Гизельдона
Часть 11. Бассейн верховьев р. Терека
Часть 12. Бассейны правых притоков р. Сунжи

Том 9. ЗАКАВКАЗЬЕ И ДАГЕСТАН

Выпуск 1. Западное Закавказье

Часть 1. Бассейн р. Мзымы
Часть 2. Бассейн р. Бзыби
Часть 3. Бассейн р. Келасури
Часть 4. Бассейн р. Кодори
Часть 5. Бассейн р. Ингур
Часть 6. Бассейн р. Рioni
Часть 7. Бассейны левых притоков р. Куры

Выпуск 2. Армения

Часть 1. Бассейн р. Аракса

Выпуск 3. Дагестан

Часть 1. Бассейн р. Сулака
Часть 2. Бассейн р. Самура

Выпуск 4. Восточное Закавказье

Часть 1. Бассейн р. Кусарчая

Том 13. ЦЕНТРАЛЬНЫЙ И ЮЖНЫЙ КАЗАХСТАН

Выпуск 2. Бассейн оз. Балхаш

Часть 1. Бассейны левых притоков р. Или от устья р. Курты до устья р. Тургень (издано в 1967 г.)
Часть 2. Бассейн р. Чилика (издано в 1968 г.)
Часть 3. Бассейны рек Чарына, Текеса (издано в 1969 г.)
Часть 4. Бассейны рек Хоргоса, Усека
Часть 5. Бассейн р. Карагата
Часть 6. Бассейны рек Биен. Аксу, Лепсы (издано в 1970 г.)
Часть 7. Бассейны рек Тентека, Ргайты (издано в 1969 г.)

Том 14. СРЕДНЯЯ АЗИЯ

Выпуск 1. Сырдарья

Часть 1. Бассейн р. Пскема (издано в 1968 г.)
Часть 2. Бассейн р. Чаткала (издано в 1970 г.)
Часть 3. Бассейны правых притоков р. Нарына ниже устья р. Кёкёмерена
Часть 4. Бассейны правых притоков р. Нарына от устья р. Кёкёмерена до устья р. Малого Нарына
Часть 5. Бассейны правых и левых притоков верховьев р. Нарына
Часть 6. Бассейн р. Атбashi
Часть 7. Бассейны левых притоков р. Нарына от устья р. Атбashi до устья р. Карадары
Часть 8. Бассейн р. Карадары
Часть 9. Бассейны левых притоков р. Сырдарьи от устья р. Карадары до устья р. Аксу
Часть 10. Бассейны левых притоков р. Сырдарьи от устья р. Аксу и ниже
Часть 11. Бассейн р. Арысь

Выпуск 2. Киргизия

Часть 1. Бассейны рек Ассы, Таласа (издано в 1968 г.)
Часть 2. Бассейны левых притоков р. Чу ниже устья р. Коморчека (издано в 1973 г.)
Часть 3. Бассейн верховьев р. Чу (издано в 1971 г.)
Часть 4. Бассейны правых притоков р. Чу ниже Боамского ущелья (издано в 1969 г.)
Часть 5. Реки бассейна оз. Иссык-Куль
Часть 6. Бассейн р. Акшийрака (издано в 1970 г.)
Часть 7. Бассейны правых притоков р. Сарыджаза между устьями рек Акшийрака и Куйлю (издано в 1969 г.)
Часть 8. Бассейн верховьев р. Сарыджаза от устья р. Куйлю и выше
Часть 9. Бассейны левых притоков р. Сарыджаза (реки Инылчек, Каинды, Каюкан)
Часть 10. Бассейн р. Кокшала (издано в 1971 г.)
Часть 11. Реки бассейна оз. Чатыркель (издано в 1971 г.)

Выпуск 3. Амударья

Часть 1. Бассейн верховьев р. Зеравшана от устья р. Фандары
Часть 2. Бассейн р. Зеравшана ниже устья р. Фандары
Часть 3. Бассейн р. Кашкадары (издано в 1969 г.)
Часть 4. Бассейн р. Сурхандары (издано в 1969 г.)
Часть 5. Бассейн р. Кафирнигана
Часть 6. Бассейн левых и правых притоков р. Сурхоба выше устья р. Обихингу и ниже устья р. Муксу (издано в 1971 г.)
Часть 7. Бассейн р. Қызылсу
Часть 8. Бассейн р. Муксу (А — система ледника Федченко) (издано в 1968 г.)
Часть 9. Бассейн р. Обихингу
Часть 10. Бассейны правых притоков р. Пянджа от устья р. Вахша до устья р. Ванча
Часть 11. Бассейн р. Ванча
Часть 12. Бассейн р. Язгулема
Часть 13. Бассейн р. Бартанга
Часть 14. Бассейн р. Мургаба
Часть 15. Бассейн р. Гунта
Часть 16. Бассейн верховьев р. Пянджа выше устья р. Гунта
Часть 17. Реки бассейна оз. Кара-Куль
Часть 18. Бассейн верховьев р. Маркансу

Том 15. АЛТАЙ И ЗАПАДНАЯ СИБИРЬ

Выпуск 1. Горный Алтай и Верхний Иртыш

- Часть 1. Бассейны левых притоков р. Иртыша (издано в 1969 г.)
Часть 2. Бассейн р. Кабы (издано в 1969 г.)
Часть 3. Бассейны рек Курчума, Бухтармы, Ульбы, Убы (издано в 1969 г.)
Часть 4. Бассейн верховьев р. Катуни
Часть 5. Бассейн р. Аргута
Часть 6. Бассейн р. Чунь
Часть 7. Бассейн р. Бии
Часть 8. Бассейны рек Кобдо, Карги

Том 16. АНГАРО-ЕНИСЕЙСКИЙ РАЙОН

Выпуск 1. Енисей

- Часть 1. Северная Земля
Часть 2. Бассейн р. Таймыры (горы Бырранга)
Часть 3. Бассейны рек Казыра, Кана (издано в 1973 г.)
Часть 4. Бассейн р. Кемчика (издано в 1973 г.)
Часть 5. Бассейн верховьев р. Енисея выше устья р. Кемчика (издано в 1973 г.)
Часть 6. Горы Пutorана
Часть 7. Остров Ушакова

Выпуск 2. Ангара

- Часть 1. Бассейн верховьев рек Оки, Уды (издано в 1973 г.)

Том 17. ЛЕНО-ИНДИГИРСКИЙ РАЙОН

Выпуск 2. Средняя Лена

- Часть 1. Бассейны рек Чары и Витима (хребет Кодар) (издано в 1972 г.)

Выпуск 3. Алдан

- Часть 1. Бассейн р. Юдомы

Выпуск 5. Нижняя Лена

- Часть 1. Хараулакские горы
Часть 2. Хребет Орулган (издано в 1972 г.)

Выпуск 7. Яна, Индигирка

- Часть 1. Острова Де-Лонга
Часть 2. Бассейн Средней Индигирки (хребет Черского)
Часть 3. Бассейны левых притоков р. Индигирки, берущих начало на склонах хребта Сунтар-Хаята

Том 19. СЕВЕРО-ВОСТОК

- Часть 1. Остров Врангеля
Часть 2. Бассейн р. Анадырь (хребет Пекульней)
Часть 3. Бассейн р. Дельку (хребет Сунтар-Хаята)

Том 20. КАМЧАТКА

- Часть 1. Корякский хребет
Часть 2. Бассейны рек западного побережья Камчатки (издано в 1968 г.)

Часть 3. Бассейн р. Камчатки (издано в 1968 г.)

Часть 4. Бассейны рек восточного побережья Камчатки (издано в 1968 г.)

СПИСОК ПРИНЯТЫХ СОКРАЩЕНИЙ

Учреждения и организации

- АН — Академия наук
ГГИ — Государственный гидрологический институт
изд. — издательство
МВХ — Министерство водного хозяйства
НИИВХ — Научно-исследовательский институт водного хозяйства
САГУ — Среднеазиатский государственный университет
САНИГМИ — Среднеазиатский научно-исследовательский гидрометеорологический институт
ТУГМС — Ташкентское управление гидрометеорологической службы

Пункты наблюдений

- гп — гидрологический пост
дер — дистанционная снегомерная рейка
мст — метеорологическая станция
ос — осадкометр суммарный
сп — снегомерный пункт

Морфологические типы ледников

- вис. — висячий
вис. дол. — висячий долинный
дол. — долинный
кар. — каровый
кар.-вис. — карово-висячий
кар.-дол. — карово-долинный
котл. — котловинный
пл. верш. — ледник плоской вершины
присклон. кар. — присклоновый каровый
цирк. — цирковый

Способ определения высоты фирновой линии

- АФС — на основании дешифрирования аэрофотоснимков

Прочие

- вып. — выпуск
изв. — известия
ин-т — институт
кишл. — кишлак
пр. р. — приток реки, ручья
р. — река
руч. — ручей
с. — село
сб. — сборник
тр. — труды

ХАРАКТЕРИСТИКА ГЕОГРАФИЧЕСКОГО ПОЛОЖЕНИЯ, МОРФОЛОГИИ, КЛИМАТИЧЕСКИХ УСЛОВИЙ И РЕЖИМА ЛЕДНИКОВ

Рельеф. Бассейн р. Атбashi расположен в юго-западной части Внутреннего Тянь-Шаня среди нескольких межгорных впадин и высоких сыртовых нагорий и представляет обширную замкнутую Атбashi-Каракоюнскую впадину длиной более 160 км и наибольшей шириной 30 км. Абсолютная высота равнинной части впадины колеблется в пределах 2000—2800 м. Со всех сторон этот район окаймляют высокие горы: с юга хребты Атбashi и Джанги-Джер, с севера горы Нарынтау, Ала-Мышик и Карагатау, с северо-запада горы Байбичетау и Джамантау. Площадь водосбора р. Атбashi с ее основным притоком Каракоюн составляет 5540 км².

Хребет Атбashi вытянут с северо-востока на юго-запад горной цепью протяженностью в 155 км. Его ширина колеблется от 12 до 28 км. Абсолютные отметки почти на всем протяжении более 4000 м, местами превышают 4500 м. Наивысшей точкой хребта является вершина высотой 4786 м, находящаяся в бассейне р. Аксая. Хребет имеет асимметричное строение. Высота юго-западной части хребта, погруженной под аллювиальные отложения высокогорной долины р. Арпы, уменьшается, и только отдельные вершины достигают 4200—4400 м. На востоке хр. Атбashi тесно связан с хр. Джанги-Джер и отделен от него лишь незначительным понижением.

В гребневой зоне хребта развиты прекрасно выраженные альпийские формы рельефа. Сохранились также ледниковые формы рельефа — троговые долины, кары и цирки. Часто встречаются скалистые останцы и осыпи. Северный склон имеет ступенчатый профиль; относительная высота его осевой линии над краевыми частями впадины достигает 1500—2000 м, а над центральной частью — 2500 м. Относительное превышение очень крутого юго-восточного склона над дном долины р. Аксая составляет всего 1000 м.

Ниже, в высотной зоне 2600—3100 м, вдоль всего северного склона хребта прослеживается выровненная денудационная поверхность (уклоны 15—20°) нижнечетвертичного возраста, покрытая флювиогляциальными отложениями. Ее ширина достигает 2—4 км. Пологая предгорная ступень северного склона заканчивается довольно крутым скалистым уступом. В этом районе развиты моренные образования, слагающие невысокие холмы, гряды и камы, придающие рельефу мягкие очертания. Для северного склона хребта, по данным Е. Н. Сквалецкого (табл. V/20), характерны четыре разновозрастных морены. Наиболее древняя морена первого оледенения сохранилась слабо и встречается в древних ледниковых цирках. Морена второго оледенения распространена почти повсеместно.

Морена третьего оледенения свойственна долинам рек, дренирующим северный склон хр. Атбashi. Современная морена, подпирающая ледниковые языки, развита в приводораздельных частях хребта.

Северный склон хребта изрезан многочисленными короткими поперечными ущельями и дrenируется густой речной сетью.

Водораздельная линия на юге проходит по гребню хр. Атбashi, а в восточной части смещается к югу от гребня, где сравнительно недавно некоторые притоки р. Атбashi, текущие с южных склонов хребта, перехватили верховья рек, текущих в р. Аксай.

Восточным продолжением хр. Атбashi является хр. Джанги-Джер, который более чем на 75 км вклинивается в описываемый район. Абсолютные высоты хребта в его западной части колеблются в пределах 3400—4000 м. В восточной части они достигают 4500—4700 м. Относительная высота превышает 1000 м. Северные склоны хребта, крутые и обрывистые, сильно расчленены глубокими поперечными ущельями, южные склоны являются продолжением высоко поднятой и сильно выровненной поверхности Аксайских сыртов.

Горы Нарынтау отличаются высокогорным, резко расчлененным ледниковым рельефом с абсолютными отметками вершин до 3800—4300 м. Относительная высота их над дном долины колеблется в пределах 1200—1800 м. В гребневой зоне, в области развития палеозойских отложений, склоны гор скалистые, крутые, а близ водоразделов отвесные. Широко распространены осыпи. Во многих местах в верховьях рек сохранились моренные отложения в виде гряд и холмов. В предгорной зоне в западном направлении отчетливо прослеживаются древние дотретичные денудационные поверхности. В этом направлении абсолютная высота гор Нарынтау снижается и не превышает 4000 м. Южные склоны гор в области третичных отложений выполняются и рельеф приобретает в восточной части высокогорный, а в западной среднегорный облик. Относительная высота холмов над дном долины составляет 200—300 м, уменьшаясь к западу до 120—150 м. Холмы имеют плоские куполообразные вершины и пологие склоны. В этом районе встречаются высокоподнятые древнечетвертичные денудационные поверхности, по возрасту и гипсометрическому положению соответствующие предгорной ступени хр. Атбashi. Южные склоны гор Нарынтау дренируются многочисленными притоками р. Атбashi.

Западным продолжением гор Нарынтау служат горы Ала-Мышик. Они представляют относительно невысокое горное сооружение общей протяженностью

стью 20 км с наивысшей точкой 3379 м. Верхняя часть южного склона является поверхностью денудации дотретичного возраста; к ней прилегают сильно расчлененные предгорья.

Юго-запад Атбаси-Каракоюнской впадины окаймляют северные склоны гор Джамантау, призывающие к бассейну самой восточной своей частью. Средняя высота гор составляет 4000 м, а отдельные вершины поднимаются до 4600 м и выше. Северная цепь гор широкая с пологими склонами, расчлененными эрозией на ряд обособленных массивов. Местами встречаются древние денудационные поверхности.

На северо-западе расположены невысокие горы Байбичетау, имеющие холмистый облик. Средняя высота их 3200 м, максимальная достигает 3500 м. Склоны гор асимметричны и сильно расчленены. Южные склоны гор короче и круче северных. В гребневой зоне сохранились останцы денудационной поверхности.

В горах Ала-Мышик, Карагатау и Байбичетау оледенение не развито из-за их сравнительно небольшой высоты.

Гидрография. Река Атбаси образуется от слияния двух рек: Улан и Джаджир, которые стекают с южных склонов гор Нарынтау и северных склонов хр. Джанги-Джер по небольшим узким ущельям. Река Атбаси в верховьях имеет широкую долину с невысокими берегами. Ниже по течению, где южные склоны гор Нарынтау и северо-западные склоны хр. Атбаси сближаются, река на протяжении 10 км мощным потоком течет по ущелью Босого. Стены ущелья большей частью вертикальные и достигают высоты 50—60 м; террасы либо отсутствуют, либо занимают узкие полосы вдоль реки. После выхода из ущелья долина р. Атбаси резко расширяется, достигая 10—12 км в ширину, скорость течения уменьшается, появляются речные террасы. На этом участке река принимает большое количество притоков. Продольный профиль рек, текущих с северных склонов хр. Атбаси, еще не выработан вследствие молодости рельефа и в об-

ласти. Начиная от притока Ширикты и до впадения в р. Атбаси, в долине р. Каракоюна хорошо выражены террасы. В нижнем течении река разливается, заболачивая долину. В отдельные годы она пересыхает.

После впадения р. Каракоюна р. Атбаси резко меняет свое направление, круто поворачивая на север, и протекает в узком недоступном каньоне, прорезающем горы Нарынтау. Стенки каньона вертикальные или очень крутые (около 70°), ширина реки здесь местами не превышает 3 м. Скорости течения достигают 6—7 м/с (табл. V/7). Речные террасы отсутствуют. Превышение отдельных вершин над дном долины составляет 400—500 м. После выхода из каньона долина резко расширяется. Вблизи устья река разбивается на рукава и широко разливается. На этом участке близко к дневной поверхности подходят подземные воды.

Климатические условия. Климат бассейна р. Атбаси отличается резкой континентальностью и засушливостью. Широтно вытянутые горы прямым образом влияют на режим температуры воздуха, давления, направление течения воздушных масс и на количество атмосферных осадков. Здесь наблюдается вертикальная климатическая поясность.

Средние годовые температуры воздуха с высотой понижаются, оставаясь положительными только до высоты 2000—2300 м. Так, на высоте 2000 м (мст Атбаси) средняя годовая температура воздуха равна 1,1°C, а на высоте 3080 м (мст Каракольская) составляет —3,6°C, на высоте 3600 м (мст Тянь-Шань) —7,9°C. Минимальные средние месячные температуры воздуха наблюдаются в январе и достигают на высоте 2000 м —19,6°C, а на высоте 3000 м —23,3°C (табл. 1). Средние абсолютные минимумы температур еще ниже и составляют соответственно —37 и —44°C. Средняя месячная температура воздуха на высоте 3600 м бывает выше 0°C только в июне, июле и августе, но минимальная температура воздуха остается отрицательной и в летние месяцы: в августе она составляет —2,8°C.

Таблица 1

Средние месячные и годовая многолетняя температуры воздуха, °C

Станция	I	II	III	IV	V	VI	VII	VIII	IX	X	XI	XII	Год
Атбаси . . .	—19,6	—16,2	—4,6	5,3	10,4	13,3	15,8	14,8	10,5	3,6	—5,4	—14,3	1,1
Каракольская :	—19,5	—15,7	—8,0	—0,8	3,8	6,6	9,1	8,4	4,1	—2,1	—11,0	—17,8	—3,6
Тянь-Шань	—21,9	—19,2	—13,5	—7,4	—1,5	1,8	4,2	3,7	—0,3	—6,5	—14,8	—19,9	—7,9

щих чертах повторяет ступенчатый облик склона хребта (табл. V/21). В среднем течении продольный профиль р. Атбаси сильно выплаживается, и река разбивается на ряд проток, между которыми располагаются галечные острова. В центральной части Атбаси-Каракоюнской впадины р. Атбаси принимает свой самый крупный приток — р. Каракоюн, длина которого 81 км. Река Каракоюн течет в северо-восточном направлении вдоль южного борта долины по галечному руслу. Питается она в основном за счет многочисленных притоков, стекающих с северных склонов хр. Ат-

баси. С увеличением высоты местности уменьшается продолжительность теплого периода. Переход средней суточной температуры воздуха через 0°C в сторону отрицательных значений в районе мст Атбаси наблюдается в конце октября, на высоте 3000 м — в первой декаде октября и на высоте 3600 м — во второй декаде сентября. Продолжительность холодного периода на высоте 2000 м составляет 152 дня, а на высоте 3600 м — 252 дня.

Средние температуры воздуха за апрель — октябрь положительны до высоты 3600 м, выше они имеют отрицательные значения (табл. 2).

Таблица 2
Температура воздуха за теплый и холодный периоды, °С

Станция	Высота, м	Средняя температура воздуха	
		за теплый период (IV—X)	за холодный период (XI—III)
Атбashi	2025	10,5	-12,0
Арпа	3000	4,2	-18,1
Каракольская . .	3080	4,2	-14,4
Тянь-Шань . . .	3600	0,8	-17,9

Средние максимальные температуры воздуха достигают наибольших значений в июле—августе: на высоте 2000 м +18,8°С, на высоте 3600 м +4,2°С. Абсолютные максимумы температур значительно выше и составляют +36°С на высоте 2000 м, +30°С на высоте 3000 м и +24°С на высоте 3600 м.

Температура воздуха в теплый период понижается с увеличением высоты местности. Переход средней суточной температуры воздуха через 0°С в сторону положительных значений наблюдается на высоте 2000 м в последней пятидневке марта, а на высоте 3600 м значительно позднее — в конце мая — начале июня. Продолжительность теплого периода равна соответственно 214 и 110 дням. На понижение средней суточной температуры в этой зоне значительное влияние оказывает близость ледников.

Вертикальные градиенты средних месячных температур воздуха в течение года изменяются от 0,4 до 1,1°С (табл. 3): для теплого периода температурный градиент равен 0,9°С, для ходового — 0,6°С. Вертикальные градиенты определены по данным метеостанций Тянь-Шань и Каракольская (табл. V/9).

Наибольшее количество осадков выпадает в теплый период на северных и северо-западных склонах хребтов. Количество осадков заметно возрастает с высотой: это подтверждается данными метеостанций и осадкометрических постов. Так, на высоте мст Атбashi (2025 м) количество осадков за год составляет 279 мм, а на высоте 3790 м оно равно 375 мм (табл. 4). Кроме того, количество выпадающих атмосферных осадков постепенно уменьшается в западном направлении. Это связано с тем, что влажные западные ветры, опускаясь в долину р. Каракоюна, иссушаются и дают мало осадков, в то время как над долиной р. Атбashi они поднимаются вверх, конденсируя при этом водяные пары. Это заметно по данным поста Каракоюн (2400 м) и поста «устье р. Ичекекаманды» (2520 м), где годовое количество осадков равно соответственно 297 и 335 мм.

Как указывалось выше, на территории бассейна р. Атбashi отмечается резкое преобладание летних осадков над зимними. Здесь создаются благоприятные условия для конвективных процессов, когда подъем воздушных масс усиливает процессы конденсации и, следовательно, увеличивает количество выпадающих осадков в летний период (табл. V/9). Выпадение осадков во времени изменяется в значительных пределах и зависит от частоты повторения и интенсивности атмосферных процессов. По данным суммарного осадкометра в верховьях р. Джаджир, количество осадков в отдельные годы колеблется от 250 до 530 мм.

В конце весны — начале лета наблюдается усиление циклонической деятельности, что является следствием смещения полярного фронта к северу и увеличения термических контрастов между уже сильно нагревшейся почвой и еще слабо нагретым

Таблица 3

Вертикальные градиенты средних месячных температур воздуха, по данным метеостанций
Тянь-Шань и Каракольская, °С

I	II	III	IV	V	VI	VII	VIII	IX	X	XI	XII	Год	XI—III	IV—X	
0,4	0,6	0,9	1,1	0,9	0,8	0,9	0,9	0,9	0,8	0,7	0,8	0,4	0,8	0,6	0,9

Сумма положительных средних суточных температур воздуха с высотой уменьшается от 2255 (мст Атбashi) до 310°С (мст Тянь-Шань).

Количество осадков, выпадающих в бассейне р. Атбashi, невелико. Это объясняется географическим положением рассматриваемой территории и направлением высоких горных хребтов, которые препятствуют проникновению влажных северо-западных ветров. Распределение осадков по территории бассейна очень сложное и зависит от орографии, взаимодействия воздушных масс и подстилаю-

щего поверхности. По сезонам года атмосферные осадки распределяются неравномерно. Наибольшее количество их выпадает в теплый период на северных и северо-западных склонах хребтов. Количество осадков заметно возрастает с высотой: это подтверждается данными метеостанций и осадкометрических постов. Так, на высоте мст Атбashi (2025 м) количество осадков за год составляет 279 мм, а на высоте 3790 м оно равно 375 мм (табл. 4). Кроме того, количество выпадающих атмосферных осадков постепенно уменьшается в западном направлении. Это связано с тем, что влажные западные ветры, опускаясь в долину р. Каракоюна, иссушаются и дают мало осадков, в то время как над долиной р. Атбashi они поднимаются вверх, конденсируя при этом водяные пары. Это заметно по данным поста Каракоюн (2400 м) и поста «устье р. Ичекекаманды» (2520 м), где годовое количество осадков равно соответственно 297 и 335 мм.

Таблица 4

Средние месячные и годовые количества осадков, мм

Станция	Высо-та, м	Период наблюдений, годы	I	II	III	IV	V	VI	VII	VIII	IX	X	XI	XII	Год	XI—III	IV—X	X—V	VI—IX
Атбashi . . .	2025	1957—1969	11	12	20	26	45	56	38	22	13	11	15	10	279	68	211	—	•—
Каракоюн . .	2400	1949—1964	8	10	14	27	47	66	42	35	17	10	13	8	297	53	244	—	—
Устье р. Ичекекаманды	2520	1945—1969	11	17	23	37	50	47	38	29	21	20	25	17	335	93	242	—	—
Осадкометр № 1	3790	1960—1969	—	—	—	—	—	—	—	—	—	—	—	—	375	—	147	228	

В долине выпадают в основном жидкие осадки, составляющие 65% годового количества. Осадки летом имеют большей частью конвективный характер. На высоте 3000 м количество выпадающих жидких осадков уменьшается до 47% годового.

В высокогорной зоне, по данным мст Тянь-Шань, жидкие осадки выпадают только в июле — августе, наибольшее количество приходится на июль (25% годового). В течение года твердые осадки здесь составляют 62% общего количества, смешанные — 30%.

В холодный период западные и юго-западные воздушные массы, приносящие осадки, задерживаются передовыми хребтами и только частично проникают на территорию бассейна. Но из-за того что уровень конденсации очень низок, в зимний период район в общем характеризуется малым количеством осадков. Так, сумма осадков за зимний период, по данным мст Атбashi, составляет

полагалась на высоте 2800 м. В малоснежные зимы снеговая линия поднимается до высоты 3000—3100 м. Сход снега в зоне 3200—3500 м происходит в конце мая.

На распределение выпадающих твердых осадков значительное влияние оказывает ветровой режим. Ветер способствует переносу снега с возвышенных мест в понижения рельефа и с наветренных склонов на подветренные. Толщина снежного покрова в ветровой тени и в понижениях рельефа достигает 2—2,5 м.

В настоящее время дать характеристику ветрового режима в гляциальной зоне не представляется возможным из-за отсутствия наблюдений.

Аэровизуальное обследование ледников бассейна р. Атбashi в сентябре 1969 г. показало, что более трети из них (в основном ледники северо-западной и северо-восточной экспозиций) имеют преимущественно лавинное питание.

Таблица 5

Средние месячная и годовая скорости (м/с), повторяемость направлений ветра и штилей, %
мст Атбashi, 1957—1969 гг.

Месяц	Скорость, м/с	С	СВ	В	ЮВ	Ю	ЮЗ	З	СЗ	Штиль
Январь	0,5	4	7	7	11	7	10	4	6	44
Февраль	0,7	3	7	10	13	7	11	6	6	37
Март	1,2	4	9	10	16	10	14	6	5	26
Апрель	1,7	6	9	12	13	10	13	9	9	19
Май	1,8	5	8	9	14	10	15	9	9	21
Июнь	1,5	4	7	10	16	9	14	9	6	25
Июль	1,5	2	6	11	20	11	12	7	5	26
Август	1,3	2	4	9	22	11	11	8	5	28
Сентябрь	1,1	2	6	8	18	13	14	9	5	25
Октябрь	1,0	3	6	10	16	10	13	7	6	29
Ноябрь	0,8	4	6	11	15	11	12	6	5	30
Декабрь	0,6	4	7	10	13	9	10	6	4	37
Год	1,1	4	7	10	15	10	12	7	6	29

68 мм, или 25% годовой суммы осадков. Но на высоте 3700 м и выше в отдельные годы количество осадков за зимний период (октябрь — май) достигает довольно больших величин (190—195 мм), в то время как в малоснежную зиму оно составляет 90 мм. В целом в этой зоне в период аккумуляции величина осадков колеблется в пределах 40—45% годовой суммы.

Малое количество осадков, выпадающих зимой, определяет малую мощность снежного покрова в бассейне р. Атбashi. Устойчивый снежный покров в долине, по данным мст Атбashi, появляется в начале ноября и держится до начала апреля. В высотной зоне 3200—3500 м он образуется значительно раньше (в начале октября), и число дней со снежным покровом достигает 200. Толщина снежного покрова с увеличением высоты заметно возрастает. С октября по март она достигает на высоте 2000 м в среднем 30 см, на высоте 3000 м — 40—45 см. В отдельные годы толщина снежного покрова увеличивается по долине в среднем до 40—50 см, на высотах выше 3000 м — до 60—80 см. В холодные многоснежные зимы сход снега наблюдается очень поздно — в высокогорной зоне в начале мая. Так, например, в конце апреля 1969 г. мощность снежного покрова в долине р. Балыкты составляла 145 см. Снеговая линия в это время рас-

полагалась на высоте 2800 м. В малоснежные зимы снеговая линия поднимается до высоты 3000—3100 м. Сход снега в зоне 3200—3500 м происходит в конце мая. В долине р. Атбashi преобладают юго-восточные и юго-западные стоковые ветры, дующие с хребтов Атбashi и Джанги-Джер. Повторяемость юго-восточных ветров в осенне-зимний период составляет в среднем 14%, в весенне-летний период она увеличивается до 18%. Максимум отмечается в августе (22%) (табл. 5). Наибольшие средние месячные скорости ветра наблюдаются в весенне-летний период и достигают в среднем 1,5 м/с. В зимний период скорости ветра значительно меньше (0,5—0,8 м/с), так как под влиянием радиационного выхолаживания и образования инверсий происходит застой воздуха. В связи с этим число дней со штилем зимой значительно больше, чем летом. Они наблюдаются 10—12 раз в течение месяца. Затишья летом наступают в ночное время, вследствие термодинамической конвекции в атмосфере.

Относительная влажность в бассейне р. Атбashi в течение года велика и заметно меняется в зависимости от времени года и высоты. Годовая величина ее составляет 69%. В летний период влажность меньше, чем в зимний (50—60% против 70—90%). Наибольшая относительная влажность наблюдается в январе и феврале; в ночное время она составляет 90—92%, днем изменяется в пределах 70—80%.

Гидрологический режим. Физико-географические особенности и климатические условия Атбashi-Каракоюнской впадины влияют на характер водного режима, распределение и объем стока рек бассейна р. Атбashi¹.

Исток р. Атбashi лежит в ледниковой зоне на высоте 3840 м и питается водами многочисленных рек, стекающих с северных склонов хр. Атбashi и южных склонов гор Нарынтау. Реки эти — небольшие. По размеру бассейна, своей длине и водности выделяется только р. Каракоюн с притоками. Площадь ее бассейна составляет 33% площади бассейна р. Атбashi. Таяние снежников и ледников в период аблации, интенсивный сход лавин в зимний и весенний периоды характеризуют условия питания рек бассейна. Показателем соотношения

Для р. Каракоюн с притоками, стекающими со склонов хр. Атбashi, величина δ больше 1. Таким образом, река относится к типу рек с ледниково-снеговым питанием и имеет незначительный объем стока по сравнению с р. Атбashi. Основной сток (более 72% годового стока) приходится на июнь — август. Максимум отмечается в июле (3,70 м³/с), когда происходит таяние лавинных конусов и ледников. Наибольшие расходы воды из максимальных достигают 40 м³/с. Средний годовой расход р. Каракоюн составляет 1,04 м³/с.

Величина твердого стока зависит от ряда факторов: расчлененности и абсолютной высоты водосбора, форм и экспозиции склонов, состава слагающих пород. Бассейн р. Атбashi сложен в основном изверженными и метаморфическими породами,

Таблица 6

Средние месячные и средние годовые расходы воды (Q), взвешенных наносов (R) и мутность воды (φ)

Характеристики	I	II	III	IV	V	VI	VII	VIII	IX	X	XI	XII	Год
р. Атбashi — устье р. Ичкекаманды (1959—1962 гг.)													
Q м ³ /с	5,28	4,88	4,94	10,6	24,9	44,0	39,8	25,5	16,2	9,86	7,68	6,49	16,7
% годового	2,6	2,4	2,5	5,3	12,5	22,0	19,9	12,8	8,1	4,9	3,8	3,2	100
R кг/с	0,018	0,020	1,098	1,1	3,5	6,4	2,9	0,52	0,15	0,045	0,030	0,037	1,2
φ г/м ³	3	4	18	100	140	140	73	20	9	6	4	6	72
р. Каракоюн — кишл. Каракоюн (1959—1961 гг.)													
Q м ³ /с	0	0	0	0,68	0,84	3,18	3,70	2,18	1,10	0,31	0,18	0,30	1,04
% годового	0	0	0	5,5	6,7	25,5	29,7	17,5	8,8	2,5	1,4	2,4	100
R кг/с	0	0	0	0	0,064	0,48	0,40	0,09	0,008	0,003	0,001	0	0,82
φ г/м ³	0	0	0	0	5	150	110	41	7	10	6	0	79

объемов снегового и снегово-ледникового половодий служит коэффициент δ . Река Атбashi, средняя взвешенная высота водосбора которой составляет 3056 м, относится к типу рек со снегово-ледниковым питанием, ее коэффициент равен 0,87 (табл. V/29). Особенностью режима является значительное подземное питание, в силу чего месячный сток р. Атбashi в зимний период не падает ниже 2—4% годового стока (табл. 6). Большая доля подземного питания является результатом интенсивной инфильтрации поверхностного стока в рыхлые отложения долины р. Атбashi и ее притоков.

Наименьшие расходы воды зимней межени отмечаются в феврале — марте (4,88 м³/с). С переходом температуры воздуха через 0°С в сторону положительных значений начинается интенсивное таяние снега, затем льда, и расходы воды заметно увеличиваются. На период апреля — августа приходится 71,5% годового стока. Максимум стока отмечается в июне (44,0 м³/с). Наибольшие значения стока из максимальных достигают 204 м³/с. В октябре, когда температура воздуха имеет отрицательные значения, расходы воды падают. Средний годовой расход равен 16,7 м³/с.

Средний годовой модуль стока р. Атбashi в среднем течении составляет 11,1 л/с км², а в нижнем течении (гп Джанги-Джер) он уменьшается до 6 л/с км².

¹ Ввиду того что непосредственные гидрологические наблюдения в гляциальной зоне бассейна р. Атбashi не проводятся, описание гидрологического режима дается в общих чертах для рек Атбashi и Каракоюн.

представленными сланцами и песчаниками, с преобладанием светло-бурых почв. Размываемость этих пород невелика и большого смыва не дает. Величина смыва для р. Атбashi равна 1,00 г/с км², а для р. Каракоюн — 0,07 г/с км². Расходы взвешенных наносов на этих реках малы. Средний годовой расход взвешенных наносов для р. Атбashi составляет 1,2 кг/с, для р. Каракоюн — 0,82 кг/с. Максимумы отмечаются в июне (на р. Атбashi) и июле (на р. Каракоюн), что составляет в сумме более 40% годового стока взвешенных наносов. Объем твердого стока за год составляет на р. Атбashi 38,92 тыс. т (из них более 90% годового стока приходится на май — август), на р. Каракоюн — 2,46 тыс. т (табл. 7). Невелика и мутность р. Атбashi: средняя годовая величина ее равна 72 г/м³. Увеличение мутности наблюдается вниз по течению реки, что связано с развитием эрозионных процессов. Наибольших значений мутность рек достигает в летний период (май — июнь), варьируя от 150 до 1600 г/м³ в р. Атбashi и от 270 до 720 г/м³ в р. Каракоюн.

Характеристика оледенения бассейна. Современное оледенение бассейна р. Атбashi приурочено в основном к южному обрамлению бассейна — хребтам Атбashi и Джанги-Джер. На северных склонах этих хребтов сосредоточено около 70% общего количества ледников и около 77% их площади. Остальные ледники располагаются на южном склоне гор Нарынтау, а также на северо-восточных склонах хр. Джамантау, входящего своей восточной оконечностью в бассейн р. Атбashi (табл. 8).

Таблица 7

Объем стока взвешенных наносов, W тыс. т и % годового

Характеристики	I	II	III	IV	V	VI	VII	VIII	IX	X	XI	XII	Год
----------------	---	----	-----	----	---	----	-----	------	----	---	----	-----	-----

р. Атбаси — устье р. Ичекаманды (1959—1962 гг.)

W %	0,04 0,10	0,04 0,10	0,23 0,59	2,85 7,82	9,37 24,1	16,58 42,6	7,76 19,92	1,39 3,57	0,38 0,98	0,12 0,31	0,07 0,18	0,09 0,23	38,92 100
----------	--------------	--------------	--------------	--------------	--------------	---------------	---------------	--------------	--------------	--------------	--------------	--------------	--------------

р. Каракоюн — кишл. Каракоюн (1959—1961 гг.)

W %	0 0	0 0	0 0	0 0	0,01 0,41	1,16 47,15	1,07 43,50	0,2 8,13	0,02 0,81	0 0	0 0	0 0	2,46 100
----------	--------	--------	--------	--------	--------------	---------------	---------------	-------------	--------------	--------	--------	--------	-------------

Распределение ледников по территории бассейна очень неравномерное. Сплошной пояс оледенения существует только на северном склоне хр. Атбаси и в восточной части хр. Джанги-Джер. На остальных участках оледенение носит пятнистый характер.

Бассейн р. Атбаси в гляциологическом отношении изучен слабо. По данным Л. Г. Бондарева (табл. V/1), площадь оледенения хр. Атбаси (только северные склоны) равна 22,6 км², гор Нарынтау (северные и южные склоны) — 26,4 км². По последним наиболее точным данным, полученным на основании обработки материалов аэрофотосъемки, площадь оледенения северного склона хр. Атбаси составляет 52,8 км², гор Нарынтау только на южном склоне в пределах бассейна р. Атбаси — 22,5 км², а с учетом северных склонов гор — около 68 км².

Всего в бассейне р. Атбаси насчитывается 284 ледника (из них 31 имеют площадь менее 0,1 км²) общей площадью 113,7 км², что составляет всего 2% общей площади бассейна.

Средняя площадь одного ледника в целом по бассейну равна 0,4 км². Заметно резкое уменьшение размеров ледников с запада на восток, что, по-видимому, связано с общим уменьшением осадков

в этом направлении. Поэтому если в западной части бассейна на северном склоне хр. Джамантау средняя площадь одного ледника равна 0,95 км², а в хр. Атбаси — 0,48 км², то в восточной части бассейна (хр. Джанги-Джер) она составляет всего 0,39 км² (табл. 8). Далее, в восточной части бассейна на долю ледников площадью до 0,5 км² приходится 85% общего количества ледников на северных склонах и около 95% на южных склонах хребтов, а в западной части — только 75%.

Несколько иначе распределяется оледенение по бассейнам притоков р. Атбаси. Наиболее развито оно в бассейне р. Джалдакир. Здесь насчитывается 104 ледника общей площадью 39,7 км², что составляет 36,6% общего количества ледников и 34,9% их площади (табл. 9). Вторым как по количеству ледников, так и по их суммарной площади является бассейн р. Каракоюн, где имеется 54 ледника общей площадью 25,7 км². В бассейнах остальных притоков р. Атбаси оледенение развито слабо и не превышает 9—13% по количеству и площади.

Современное оледенение бассейна представлено преимущественно небольшими ледниками. Здесь насчитывается 198 ледников (69,7% общего их количества) длиной менее 1 км каждый. И только четыре ледника достигают длины 3 км и более.

Таблица 9

Распределение ледников по бассейнам притоков

Бассейн реки	Количество ледников		Площадь ледников	
	всего	% от общего количества ледников бассейна	км ²	% от общей площади оледенения
Боронды	3		1,0	0,3
Ача	1		0,4	0,2
Башача	7		2,5	2,0
Коккумбез	2		0,8	0,2
Ичекаманды	3		1,0	1,9
Ачакаманды	10		4,0	2,9
Культор	5		1,7	0,8
Улан	35		12,4	8,7
Джалдакир	104		36,6	33,7
Юрме	3		1,0	0,5
Кенджилга	22		7,4	4,7
Туюкбоготы	5		1,7	4,5
Баш-Каниды	10		3,5	4,1
Орто-Каниды	6		2,1	4,6
Ача-Каниды	9		3,2	10,1
Терексу	5		1,7	2,3
Каракоюн	54		19,0	25,7
Итого	284		113,7	100

Таблица 8

Распределение оледенения по орографическим системам

Орографическая система	Количество ледников		Площадь ледников	
	всего	% от общего количества ледников бассейна	км ²	% от общей площади оледенения
Южный склон гор Нарынтау и его отроги	82	28,9	22,5	19,8
Северный склон хр. Джанги-Джер	88	31,0	34,6	30,4
Северный склон хр. Атбаси	110	38,7	52,8	46,4
Северный склон хр. Джамантау (восточная часть)	4	1,4	3,8	3,4
Итого	284	100,0	113,7	100,0
			0,40	

Примечание. В табл. 8—10 включены ледники размером и менее 0,1 км².

Более 90% всех ледников имеют площади менее 1 км², а суммарная площадь, занимаемая ими, составляет немногим более 57% (табл. 10). Самые крупные ледники расположены в бассейне р. Джаджир на северном склоне хр. Джанги-Джер. Это — ледники № 69 площадью 3,6 км², № 81 площадью 4,5 км² и № 91 площадью 4,1 км².

Таблица 10

Распределение ледников по величине их площади

Размеры ледников по градациям, км ²	Количество ледников		Площадь ледников	
	всего	% от общего количества ледников бассейна	км ²	% от общей площади оледенения
Менее 1,0	260	91,6	65,0	57,2
1,0—2,0	15	5,3	20,2	17,8
2,1—3,0	5	1,7	12,9	11,3
Более 3,0	4	1,4	15,6	13,7
Итого	284	100	113,7	100

Преобладающими являются каровые (рис. 3) и висячие ледники, а также их переходные формы: карово-висячие и карово-долинные (рис. 4). На долю ледников этих типов приходится 79% общего количества ледников и около 50% площади оледенения. Долинные (рис. 5—8) и висячие долинные (рис. 9—10) ледники составляют 18,2% общего количества ледников бассейна, но площадь, занимаемая ими, равна 51,1 км², или 45,6% всей площади оледенения бассейна. В бассейне р. Атбashi имеется только один котловинный ледник (рис. 11) и два ледника цирков. Четыре небольших по размеру ледника плоских вершин имеют суммарную площадь всего 0,6 км², т. е. 0,5% общей площади оледенения. Соотношение ледников различных морфологических типов приводится в табл. 11.

Таблица 11

Распределение ледников по морфологическим типам

Тип ледника	Количество		Площадь	
	всего	% от общего количества ледников бассейна	км ²	% от общей площади оледенения
Висячий	38	15,0	4,4	3,9
Карово-висячий . .	41	16,2	6,7	6,0
Каровый	88	34,7	27,7	24,7
Прислоновый каро- вый	4	1,6	0,5	0,4
Карово-долинный . .	29	11,5	15,3	13,6
Долинный	38	15,0	43,6	38,9
Висячий долинный .	8	3,2	7,5	6,7
Котловинный	1	0,4	3,0	2,7
Цирковый	2	0,8	2,9	2,6
Плоской вершины	4	1,6	0,6	0,5
Итого	253	100	112,2	100

Примечание. В табл. 11 и 12 включены только ледники площадью 0,1 км² и более.

Около половины всех ледников бассейна имеет северную экспозицию (табл. 12). Суммарная площадь, занимаемая ими, составляет 64,1 км², или 57,2% общей площади оледенения. Значительно оледенение также на склонах северо-западной и северо-восточной экспозиций. В целом на склоны северной, северо-западной и северо-восточной экс-

позиций приходится 85,4% всех ледников и 90,6% общей площади. Ледники с чисто южной экспозицией в описываемом районе отсутствуют. Ледников юго-западной и юго-восточной экспозиций немногим более 1% общего количества, или 0,3% суммарной площади оледенения.

Таблица 12

Распределение ледников по экспозициям

Экспозиция	Количество ледников		Площадь ледников	
	всего	% от общего количества ледников бассейна	км ²	% от общей площади оледенения
С	118	46,7	64,1	57,2
СВ	42	16,6	23,2	20,7
В	14	5,5	4,8	4,3
ЮВ	2	0,8	0,2	0,2
Ю	—	—	—	—
ЮЗ	1	0,4	0,1	0,1
З	20	7,9	5,4	4,8
СЗ	56	22,1	14,4	12,7
Итого	253	100	112,2	100

Следует отметить, что и на южных склонах хребтов преобладают ледники северной и близкой к ней экспозиций. Они занимают, как правило, темные участки отрогов осевого гребня. Так, на южных склонах гор Нарынтау и их отрогах на ледники северной, северо-западной и северо-восточной экспозиций приходится 66,7% общего количества ледников, или 65,8% всей площади оледенения. Значительно также оледенение на склонах западной экспозиции (29,4% по количеству и 24,8% по площади). Слоны восточной и юго-восточной экспозиций имеют мало ледников: количество их составляет соответственно 7,8 и 3,9%, а площадь — 8,1 и 1,3%. Ледников южной и юго-западной экспозиций на южных склонах гор Нарынтау нет.

Концы ледников в целом по бассейну располагаются на больших высотах. Средняя высота нижней границы ледников равна 3900 м (табл. 13). По бассейнам отдельных притоков нижняя граница ледников лежит в пределах высот от 3800 до 4000 м. Языки долинных ледников залегают в среднем на высоте 3760 м, а некоторые опускаются до высот 3500—3540 и даже 3360 м. Самое высокое положение нижней границы наблюдается у леднико-

Таблица 13

Высотные характеристики ледников

Бассейны	Высота, м				Диапазон оледенения, м
	нижней границы ледников	нижней границы открытой части	высшей точки ледника	firновой линии	
Правые притоки р. Атбashi ниже устья р. Улан	3840	3880	4180	4000	340
Улан	3830	3840	4210	3990	380
Джалджир	4000	4020	4410	4130	410
Левые притоки р. Атбashi ниже устья р. Джаджир	3810	3840	4240	3990	430
Каракоюн	3870	3900	4330	4110	460
Среднее ¹	3900	3920	4290	4040	400

¹ Средние высотные характеристики подсчитаны по данным табл. 1.



Рис. 3. Каровый ледник № 193 в бассейне р. Ача-Каинды. *Фото Н. В. Максимова, Н. И. Попова*



Рис. 4. Карово-долинный ледник № 186 в бассейне р. Орто-Каинды. *Фото Ю. П. Барбат, П. Н. Прокоповой*



Рис. 5. Долинный ледник № 191 в бассейне р. Ача-Каинды. Фото Н. В. Максимова, Н. И. Попова



Рис. 6. Долинный ледник № 194
в бассейне р. Ача-Каинды. Фото
Н. В. Максимова, Н. И. Попова

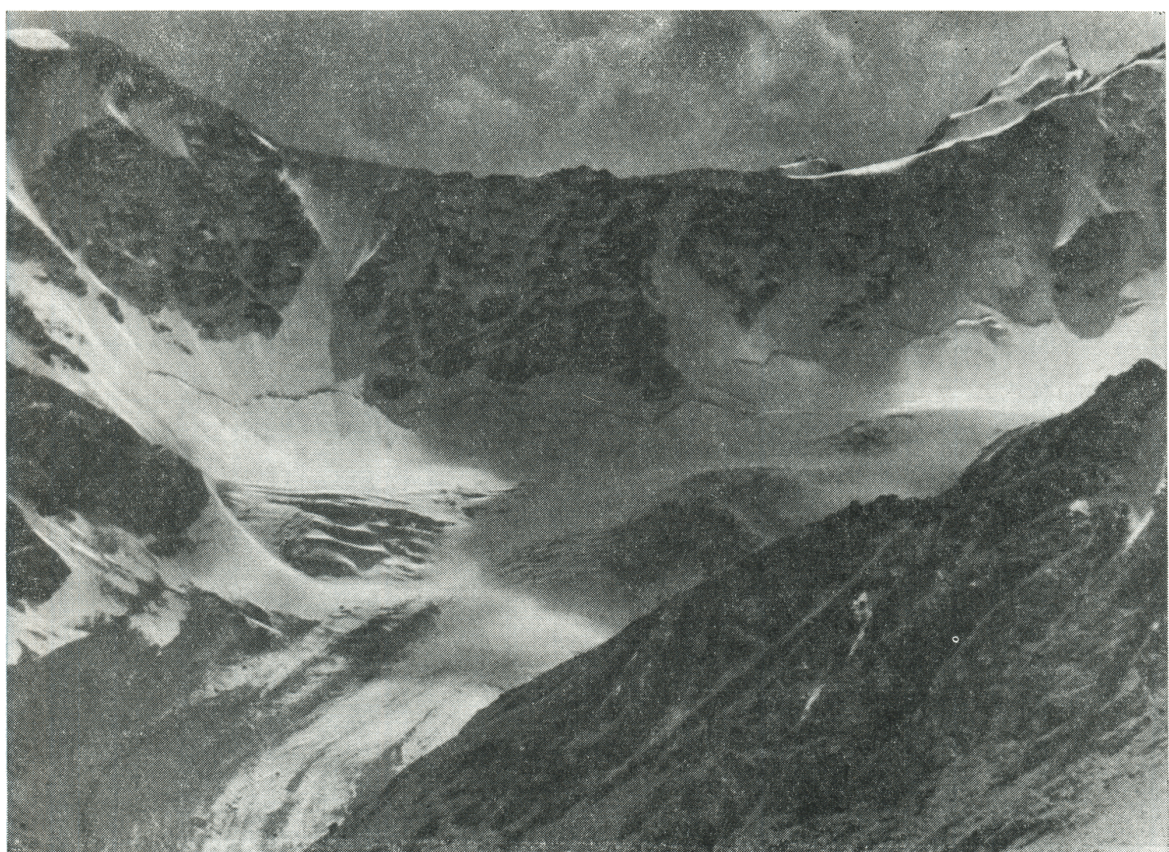


Рис. 7. Долинный ледник № 202 в бассейне р. Терексу. Фото Ю. П. Барбат, П. Н. Прокоповой



Рис. 8. Долинный ледник № 206 и висячий долинный № 207 в бассейне р. Кембель. Фото Ю. П. Барбат, П. Н. Прокоповой



Рис. 9. Висячий долинный ледник № 224 в бассейне р. Орто-Культубек. Фото Н. В. Максимова, Н. И. Попова



Рис.0. Висячий долинный ледник № 226 в бассейне р. Орто-Кельтубек. Фото Н. В. Максимова, Н. И. Попова



Рис. 11. Котловинный ледник № 173 в бассейне р. Туюкбогошты. Фото Ю. П. Барбат, П. Н. Прокоповой

ков плоских вершин. Средняя высота ее составляет 4090 м. Висячие ледники залегают в среднем на высоте 4050 м. У ледников других типов нижняя граница языков располагается в высотной зоне 3800—4000 м.

Средний уровень высших точек ледников равен 4290 м, максимальное значение — 4880 м (ледник № 69), минимальное — 3920 м (ледник № 2).

Питание ледников происходит в основном за счет ветрового переноса снега с западных склонов на восточные, а также за счет схода лавин. Особенно ярко выражен ветровой перенос снега у большинства ледников бассейна р. Четкельтубек, где склоны восточной экспозиции в фирновых бассейнах покрыты льдом и заснежены, а западные склоны совершенно свободны от снега. Остатки лавинных конусов отмечены в фирновых бассейнах ледников № 220, 224, 225.

Фирновая линия определена для части ледников по аэрофотоснимкам разных лет. Как правило, аэрофотосъемка проводилась в конце периода аблации (конец августа — начало сентября). В среднем по бассейну фирновая линия располагается на высоте около 4040 м. Самое высокое положение фирновой линии наблюдается в бассейнах рек Джалджир (4130 м) и Каракоюн (4110 м). В бассейнах р. Улан и левых притоков р. Атбashi она опускается ниже 4000 м.

Положительная и отрицательная разность оледенения в среднем по бассейну р. Атбashi одинакова и равна 240 м¹. Минимальная положительная

разность наблюдается у ледников бассейнов правых притоков р. Атбashi и составляет всего 140 м. Максимальную положительную разность имеют ледники бассейна р. Джалджир (340 м). Отрицательная разность в бассейнах правых притоков р. Атбashi близка к среднему значению ее для всего бассейна. Минимальную отрицательную разность имеют ледники бассейна р. Улан (180 м), а максимальную — р. Каракоюн (340 м). Положительная же разность у ледников этих бассейнов также близка к средней по бассейну р. Атбashi.

Ледниковый коэффициент в целом для бассейна равен 1,2, уменьшаясь на южном склоне гор Нарынтау до 0,9—1,0 и увеличиваясь на северных склонах хребтов Атбashi и Джанги-Джер до 1,3—1,4.

Поверхность крупных ледников бассейна часто расчленена трещинами и ледопадами. Значительные площади некоторых долинных ледников покрыты моренным материалом. Так ледники № 181 и 232 более чем на 70% своей длины покрыты моренным материалом. Общая площадь льда, покрытого моренным материалом, составляет 8,4 км², или 7,5% всей площади оледенения. С запада на восток последняя характеристика уменьшается от 8,2 до 5,3%.

Углы наклона поверхности ледников достигают значительных величин. У висячих и карово-висячих ледников угол наклона поверхности достигает 50—55°, а в фирновых бассейнах и верхних частях языков долинных ледников он колеблется от 5—8 до 15—20°, увеличиваясь в концевой части последних до 20—35°.

¹ Средняя положительная и отрицательная разность оледенения вычислена по ледникам с известной высотой фирновой линии.

Наблюдений за режимом и динамикой ледников в бассейне р. Атбashi не проводилось, поэтому судить об их эволюции трудно. Только по отдельным признакам можно заключить, что современное оледенение находится в стадии деградации. Об этом говорит расчленение крупных ледников на более мелкие, засоренность поверхностей ледников моренным материалом. Например, ледники № 222 и 223 в бассейне р. Четкельтубек, еще сравнительно

недавно соединявшиеся своими концами, в настоящее время являются совершенно самостоятельными ледниками. Под мощной мореной, оставленной этими ледниками, обнаружен мертвый лед. То же самое можно сказать о ледниках № 170 и 171 в бассейне р. Туюкбогошты. У некоторых ледников (№№ 188, 197, 226 и др.) на расстоянии от 10 до 150 м ниже концов языков имеются свежие конечноморенные валы.

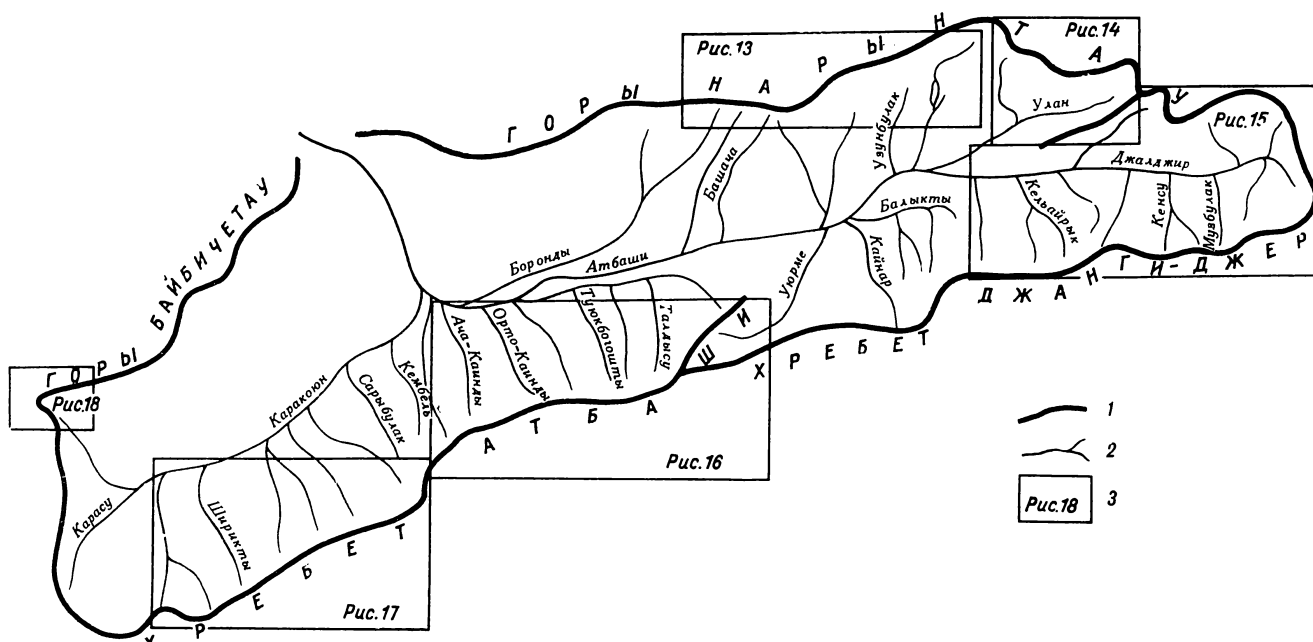


Рис. 12. Общая схема расположения речных бассейнов, в пределах которых размещаются ледники, показанные на рис. 13—18
1 — водоразделы, 2 — реки, 3 — номер рисунка, содержащего схему расположения ледников в данном бассейне

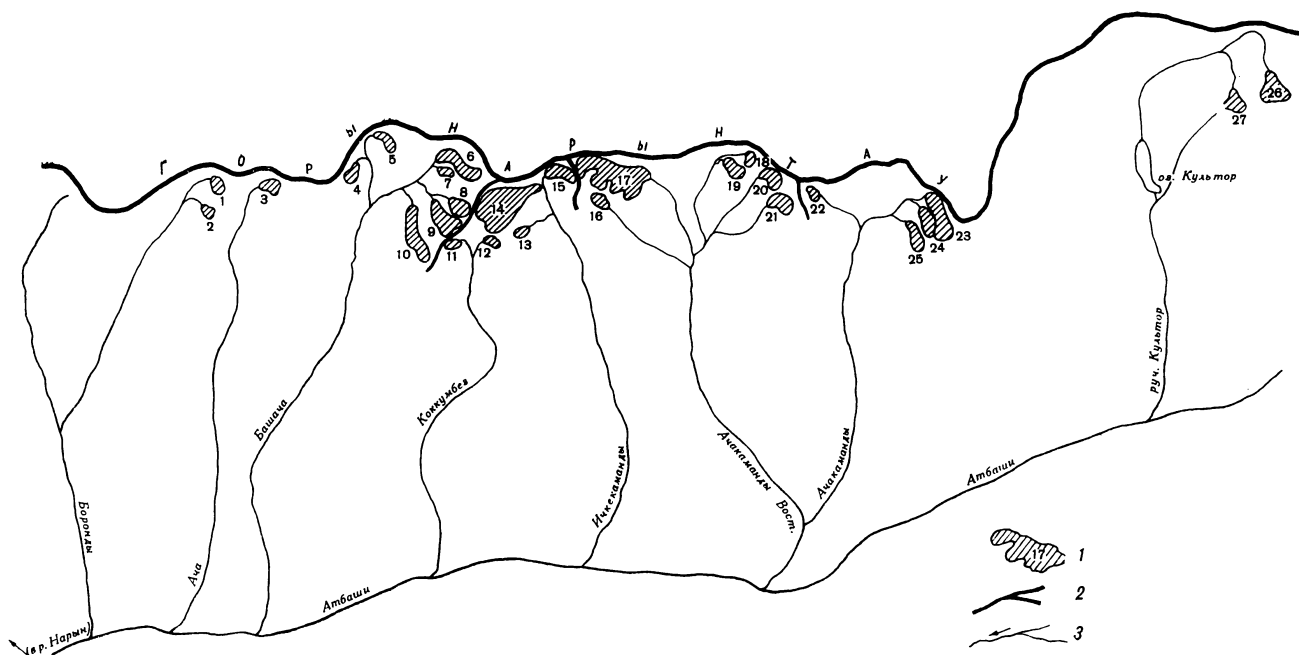


Рис. 13. Схема расположения ледников в бассейнах правых притоков р. Атбashi ниже устья р. Улан
1 — ледник, его граница и номер, 2 — водоразделы главные и второстепенные, 3 — водотоки

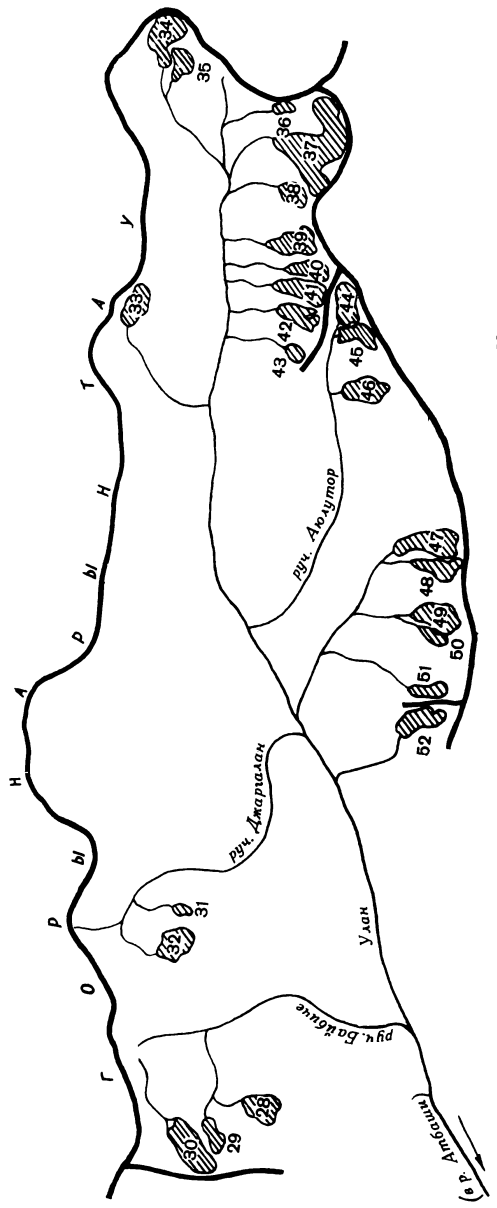


Рис. 14. Схема расположения ледниковых в бассейне р. Улан
Усл. обозначения см. на рис. 13

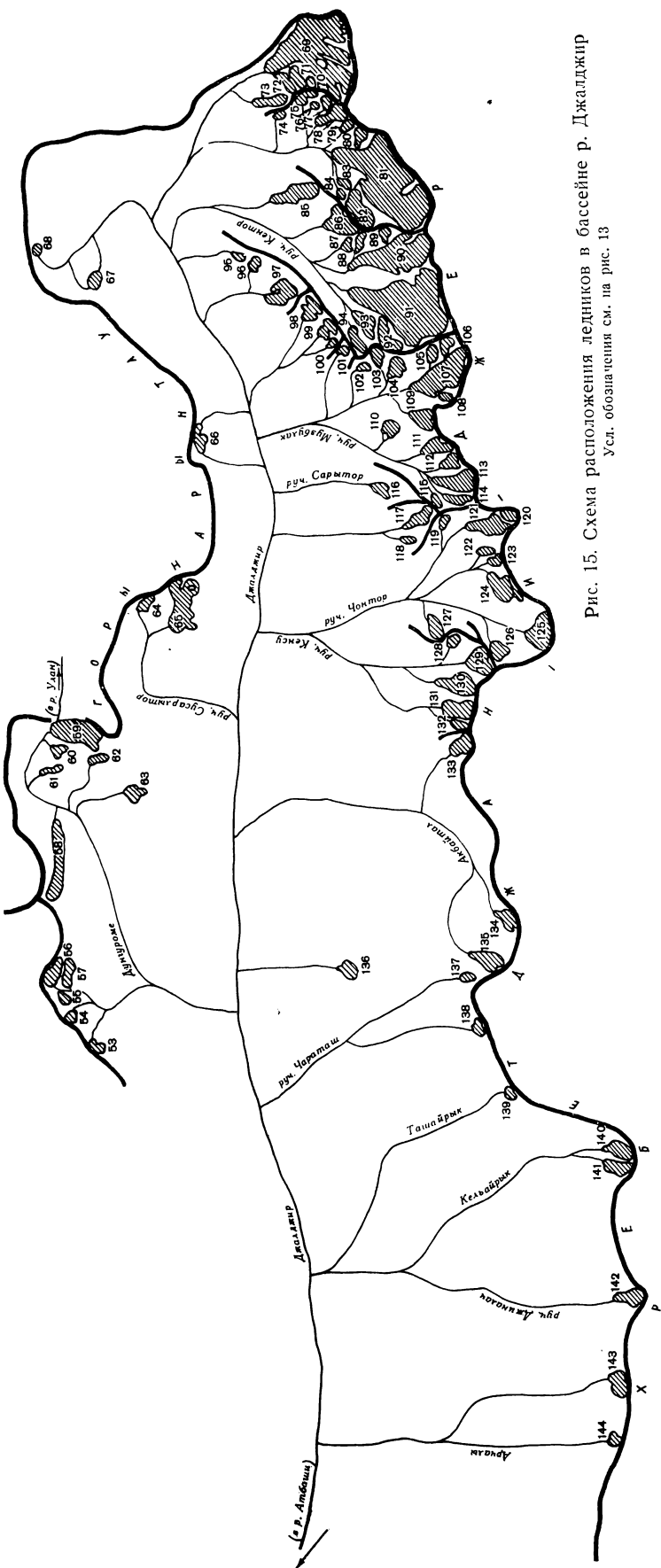


Рис. 15. Схема расположения ледниковых в бассейне р. Джагалжир
Усл. обозначения см. на рис. 13

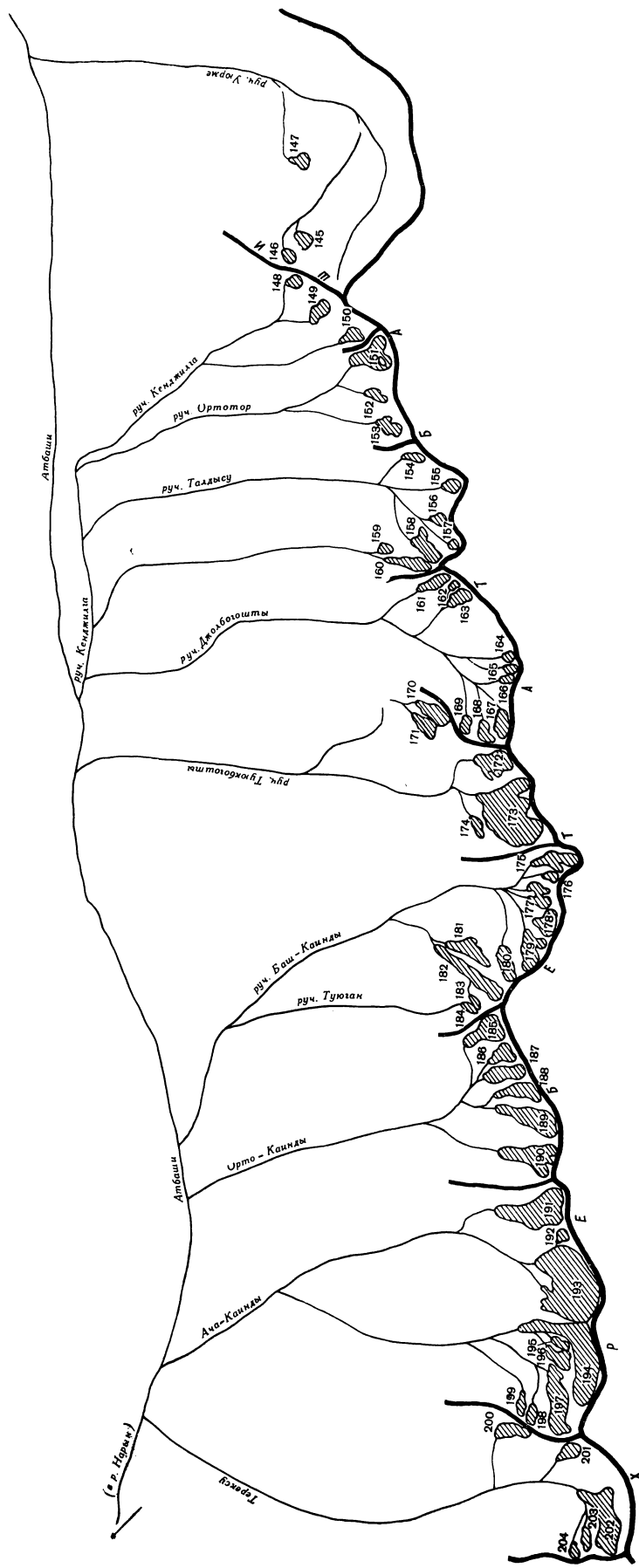


Рис. 16. Схема расположения ледников в бассейнах левых притоков р. Атбаши ниже устья р. Джаджир
усл. обозначения см. на рис. 13

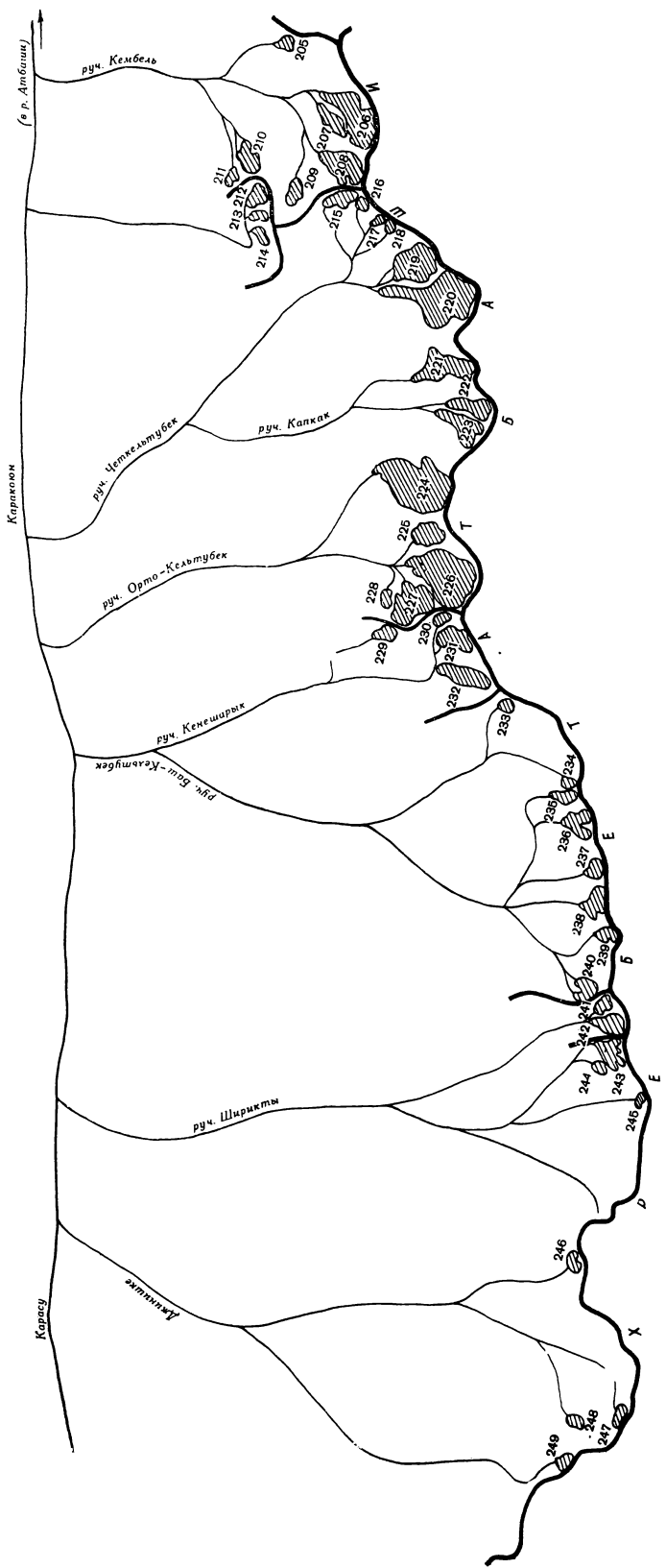


Рис. 17. Схема расположения ледников в бассейне р. Каракоюн
Усл. обозначения см. на рис. 13

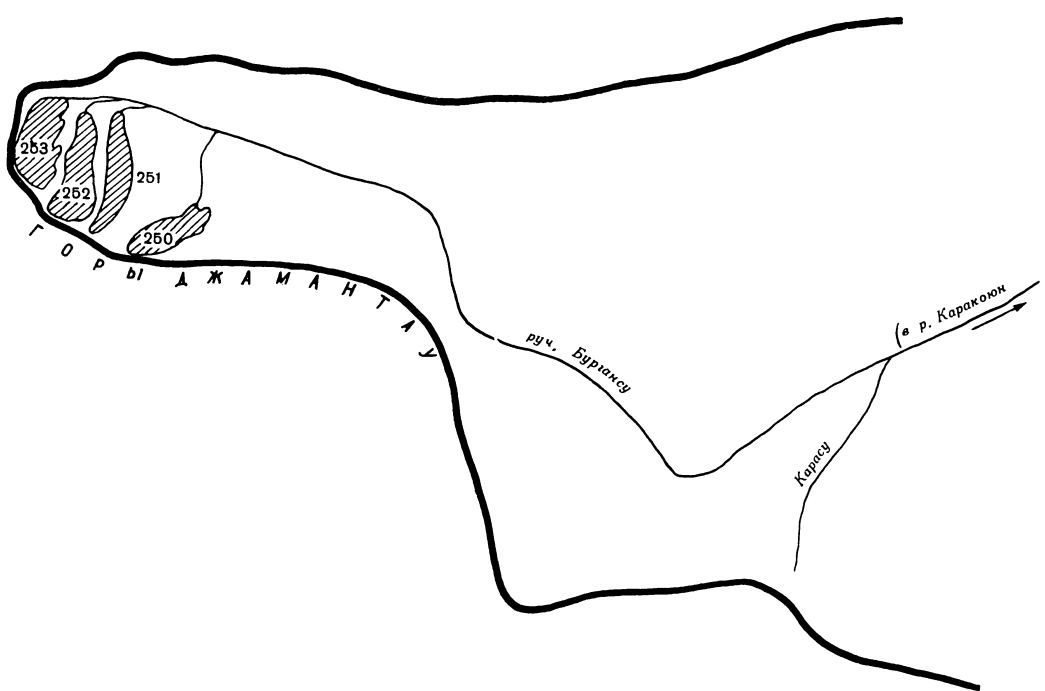


Рис. 18. Схема расположения ледников в бассейне руч. Бургансу
Усл. обозначения см. на рис. 13

ОСНОВНЫЕ ТАБЛИЦЫ
КАТАЛОГА ЛЕДНИКОВ

ОСНОВНЫЕ СВЕД

№ по схеме	Название	Название реки, вытекающей из ледника	Морфологический тип	Общая экспозиция	Наибольшая длина, км		Площадь, км ²	
					всего ледника		в том числе открытой части	
					6	7	8	9
1	2	3	4	5				

Бассейн р. Боронды (реки Атбаси, Южный склон)

1	№ 1	пр. р. Боронды	кар.	C3	0,5 0,4	0,5 0,4	0,1 0,1	0,1 0,1
2	№ 2	пр. р. Боронды	кар.-вис.	C3			0,2	0,2

Кроме того, в бассейне р. Боронды имеется 1 ледник площадью менее 0,1 км²

Итого 3 ледника

0,3

0,3

Бассейн р. Ача (реки Атбаси, Южный склон)

3	№ 3	пр. р. Ача	кар.	3	0,6	0,6	0,2	0,2
							0,2	0,2

1 ледник

Бассейн р. Башачи (реки Атбаси, Южный склон)

4	№ 4	пр. р. Башачи	кар.-вис.	СВ	0,6	0,6	0,1	0,1
5	№ 5	пр. р. Башачи	кар.-вис.	C3	0,7	0,7	0,1	0,1
6	№ 6	Башачи	дол.	C3, 3	1,4	1,0	0,5	0,4
7	№ 7	пр. р. Башачи	кар.-вис.	C3	0,5	0,5	0,1	0,1
8	№ 8	пр. р. Башачи	кар.	C3	0,6	0,6	0,2	0,2
9	№ 9	пр. р. Башачи	кар.-дол.	C3	1,1	0,8	0,5	0,4
10	№ 10	пр. р. Башачи	дол.	C	1,7	1,2	0,5	0,4

7 ледников

2,0

1,7

Бассейн р. Коккумбез (реки Атбаси, Южный склон)

11	№ 11	Коккумбез	кар.-вис.	СВ	0,5	0,5	0,1	0,1
12	№ 12	Коккумбез	кар.	3	0,5	0,5	0,1	0,1

2 ледника

0,2

0,2

Бассейн р. Ичкекаманды (реки Атбаси, Южный склон)

13	№ 13	пр. р. Ичкекаманды	кар.-вис.	СВ	0,5	0,5	0,1	0,1
14	№ 14	Ичкекаманды	цирк.	СВ	2,2	1,6	1,5	1,3
15	№ 15	пр. р. Ичкекаманды	кар.	3	1,1	1,1	0,3	0,3

3 ледника

1,9

1,7

Бассейн р. Ачакаманды Вост. (реки Атбаси, Южный склон)

16	№ 16	пр. р. Ачакаманды Вост.	присклон. кар.	ЮЗ	0,6	0,6	0,1	0,1
17	№ 17	Ачакаманды Вост.	цирк.	В	2,3	1,9	1,4	1,2
18	№ 18	пр. р. Ачакаманды Вост.	кар.-вис.	3	0,3	0,3	0,1	0,1
19	№ 19	пр. р. Ачакаманды Вост.	кар.	C3	0,7	0,7	0,2	0,2
20*	№ 20	пр. р. Ачакаманды Вост.	кар.	C3, 3	0,8	0,7	0,2	0,2
21*	№ 21	пр. р. Ачакаманды Вост.	кар.	C3, 3	0,8	0,6	0,3	0,3
22	№ 22	пр. р. Ачакаманды	присклон. кар.	B	0,2	0,2	0,1	0,1
23*	№ 23	Ачакаманды	кар.-дол.	C	1,5	1,4	0,5	0,5
24	№ 24	пр. р. Ачакаманды	кар.	C	0,9	0,9	0,2	0,2
25	№ 25	пр. р. Ачакаманды	кар.	C3	1,0	1,0	0,2	0,2

10 ледников

3,3

3,1

ТАБЛИЦА I

ЕНИЯ О ЛЕДНИКАХ

Высота, м			Фирновая линия		Площадь области аблации, км ²		Объем льда, км ³	Ссылки на последующие таблицы (илюстрации) № таблиц и иллюстраций порядковый № сведений в таблицах
нижней точки конца ледника	нижней точки открытой части ледника	высшей точки ледника	высота, м	способ определения и дата	общая	в том числе открытой части		
10	11	12	13	14	15	16	17	18

Нарын, Сырдарья, Аральское море)

гор Нарынтау

3860	3860	4040						
3800	3800	3920						

Нарын, Сырдарья, Аральское море)

гор Нарынтау

3880	3880	4160						
------	------	------	--	--	--	--	--	--

Нарын, Сырдарья, Аральское море)

гор Нарынтау

3870	3870	4130						
3880	3880	4080						
3780	3920	4280						
3800	3800	4080						
3860	3860	4200						
3740	3840	4200						
3680	3800	4320						

Нарын, Сырдарья, Аральское море)

гор Нарынтау

4080	4080	4280						
3960	3960	4200						

Нарын, Сырдарья, Аральское море)

гор Нарынтау

3880	3880	4100						
3600	3840	4240						
3820	3820	4500						

Нарын, Сырдарья, Аральское море)

гор Нарынтау

4000	4000	4200						
3760	3800	4400						
3960	3960	4080						
3860	3860	4170						
3920	3990	4200						
3940	4000	4240						
3960	3960	4200						
3800	3880	4160	4040	АФС 31/VIII-56 г.	0,3	0,3		
3800	3800	4080	3960	АФС 31/VIII-56 г.	0,1	0,1		
3840	3840	4120	4000	АФС 31/VIII-56 г.	0,1	0,1		

№ по схеме	Название	Название реки, вытекающей из ледника	Морфологический тип	Общая экспозиция	Наибольшая длина, км		Площадь, км²	
					всего ледника	в том числе открытой части	всего ледника	в том числе открытой части
1	2	3	4	5	6	7	8	9

**Бассейн руч. Культор (реки Атбаси,
Южный склон)**

26	№ 26	пр. руч. Культор	кар.	C	0,9	0,5	0,5	0,4
27	№ 27	пр. руч. Культор	кар.-вис.	C	0,7	0,7	0,2	0,2
		2 ледника					0,7	0,6

Кроме того, в бассейне руч. Культор имеется 3 ледника размерами менее 0,1 км² каждый, общей площадью 0,1 км²

Итого 5 ледников

0,8 0,7

**Бассейн руч. Байбиче (реки Улан, Атбаси,
Южный склон)**

28	№ 28	пр. руч. Байбиче	кар.	C	0,7	0,7	0,3	0,3
29	№ 29	пр. руч. Байбиче	кар.	CB	0,8	0,8	0,2	0,2
30	№ 30	пр. руч. Байбиче	кар.	CB	1,2	1,2	0,6	0,6
		3 ледника					1,1	1,1

Кроме того, в бассейне руч. Байбиче имеется 2 ледника размерами менее 0,1 км² каждый, общей площадью 0,1 км²

**Бассейн руч. Джаргалач (реки Улан, Атбаси,
Южный склон)**

31	№ 31	пр. руч. Джаргалач	кар.-вис.	C3	0,4	0,4	0,1	0,1
32	№ 32	пр. руч. Джаргалач	кар.	C3	0,8	0,8	0,3	0,3
		2 ледника					0,4	0,4

Кроме того, в бассейне руч. Джаргалач имеется 2 ледника размерами менее 0,1 км² каждый, общей площадью 0,1 км²

**Бассейн р. Улан (реки Атбаси,
Южный склон гор Нарынтау)**

33*	№ 33	пр. р. Улан	кар.	3	1,0	0,8	0,3	0,3
34	№ 34	пр. р. Улан	дол.	3	1,2	0,8	0,5	0,4
35	№ 35	пр. р. Улан	кар.	C3	0,7	0,7	0,2	0,2
36	№ 36	пр. р. Улан	вис.	C	0,4	0,4	0,1	0,1
37	№ 37	пр. р. Улан	дол.	C	1,6	1,4	1,4	1,3
38	№ 38	пр. р. Улан	кар.	C	0,6	0,6	0,2	0,2
39	№ 39	пр. р. Улан	дол.	C	1,0	1,0	0,4	0,4
40	№ 40	пр. р. Улан	кар.-дол.	C	0,9	0,9	0,2	0,2
41	№ 41	пр. р. Улан	вис.-дол.	C	1,2	0,9	0,4	0,3
42*	№ 42	пр. р. Улан	кар.	C	0,9	0,8	0,3	0,3
43	№ 43	пр. р. Улан	вис.	C	0,4	0,4	0,1	0,1

11 ледников 4,1 3,8

Кроме того, в бассейне р. Улан имеется 7 ледников размерами менее 0,1 км² каждый, общей площадью 0,2 км²

Итого 18 ледников 4,3 4,0

**Бассейн руч. Аюлутор (реки Улан, Атбаси,
Северный склон)**

44	№ 44	руч. Аюлутор	кар.	C3	0,5	0,5	0,3	0,3
45	№ 45	пр. руч. Аюлутор	кар.	C	0,9	0,9	0,3	0,3
46	№ 46	пр. руч. Аюлутор	кар.-дол.	C	1,0	0,8	0,4	0,3

3 ледника 1,0 0,9

Кроме того, в бассейне руч. Аюлутор имеется 1 ледник площадью менее 0,1 км²

Итого 4 ледника 1,1 1,0

**Левые безымянные притоки р. Улан, ниже устья руч. Аюлутор
Северный склон**

47	№ 47	пр. р. Улан	дол.	C	1,4	1,0	0,5	0,4
48	№ 48	пр. р. Улан	кар.-дол.	C	1,1	1,1	0,3	0,3
49	№ 49	пр. р. Улан	кар.	C	0,9	0,9	0,4	0,4
50	№ 50	пр. р. Улан	кар.-вис.	C	0,5	0,5	0,1	0,1
51	№ 51	пр. р. Улан	вис.	C	0,6	0,6	0,1	0,1
52	№ 52	пр. р. Улан	кар.	C3	1,2	1,2	0,3	0,3

6 ледников 1,7 1,6

Высота, м			Фирновая линия		Площадь области аблации, км ²		Объем льда, км ³	Ссылки на последующие таблицы (илюстрации) № таблиц и иллюстраций порядковый № сведений в таблицах
нижней точки конца ледника	нижней точки открытой части ледника	высшей точки ледника	высота, м	способ определения и дата	общая	в том числе открытой части		
10	11	12	13	14	15	16	17	18

Нарын, Сырдарья, Аральское море)

гор Нарынтау

3660	3720	4100	3880	АФС 31/VIII-56 г.	0,3	0,2		
3760	3760	4160	4100	АФС 31/VIII-56 г.	0,1	0,1		

Нарын, Сырдарья, Аральское море)

гор Нарынтау

3700	3700	4080	3860	АФС 31/VIII-56 г.	0,1	0,1		
3760	3760	4080	3960	АФС 31/VIII-56 г.	0,4	0,4		
3820	3820	4200						

Нарын, Сырдарья, Аральское море)

гор Нарынтау

3800	3800	4000	3960	АФС 31/VIII-56 г.	0,2	0,2		
3800	3800	4100						

Нарын, Сырдарья, Аральское море)

и северный склон его отрога

3920	4000	4240	4100	АФС 31/VIII-56 г.	0,2	0,2		IV/2
3940	4000	4360	4200	АФС 31/VIII-56 г.	0,3	0,2		
3940	3940	4200						
4060	4060	4280						
3800	3820	4360	4040	АФС 31/VIII-56 г.	0,7	0,6		IV/2
3920	3920	4260	4040	АФС 31/VIII-56 г.	0,1	0,1		
3820	3820	4240	4000	АФС 31/VIII-56 г.	0,2	0,2		IV/2
3860	3860	4300	4040	АФС 31/VIII-56 г.	0,1	0,1		IV/2
3760	3820	4300	3960	АФС 31/VIII-56 г.	0,2	0,1		IV/2
3800	3840	4120	3900	АФС 31/VIII-56 г.	0,1	0,1		
3900	3900	4110						

Нарын, Сырдарья, Аральское море)

отрога гор Нарынтау

3920	3920	4280	3940	АФС 31/VIII-56 г.	0,2	0,1		
3880	3880	4400						
3800	3860	4120						

(реки Улан, Атбаси, Нарын, Сырдарья, Аральское море)

отрога гор Нарынтау

3590	3760	4200	3920	АФС 31/VIII-56 г.	0,3	0,2		
3800	3800	4320						
3670	3670	4270						
3840	3840	4240						
3860	3860	4340						
3680	3680	3960						

№ по схеме	Название	Название реки, вытекающей из ледника	Морфологический тип	Общая экспозиция	Наибольшая длина, км		Площадь, км²	
					всего ледника	в том числе открытой части	всего ледника	в том числе открытой части
					6	7	8	9
1	2	3	4	5				

Бассейн р. Дунгуроме (реки Джалдзир,

Южный склон

53	№ 53	пр. р. Дунгуроме	кар.-вис.	СВ	0,6	0,6	0,1	0,1
54	№ 54	пр. р. Дунгуроме	кар.-вис.	В	0,4	0,4	0,1	0,1
55	№ 55	пр. р. Дунгуроме	пл.-верш.	СВ	0,4	0,4	0,1	0,1
56	№ 56	пр. р. Дунгуроме	кар.-дол.	СЗ	1,0	1,0	0,3	0,3
57*	№ 57	пр. р. Дунгуроме	кар.-дол.	3	0,9	0,8	0,2	0,2
58	№ 58	пр. р. Дунгуроме	дол.	В	2,7	2,4	0,9	0,8
59*	№ 59	Дунгуроме	дол.	С	1,6	1,6	1,1	1,1
60	№ 60	пр. р. Дунгуроме	вис.	СВ	0,3	0,3	0,1	0,1
61	№ 61	пр. р. Дунгуроме	кар.	С	0,7	0,7	0,1	0,1
62	№ 62	пр. р. Дунгуроме	пл.-верш.	СЗ	0,8	0,8	0,2	0,2
63	№ 63	пр. р. Дунгуроме	кар.	С	0,8	0,8	0,2	0,2

11 ледников

3,4

3,3

Бассейн руч. Сусарлытор (реки Джалдзир,

Южный склон

64	№ 64	пр. руч. Сусарлытор	кар.	С3	0,7	0,7	0,2	0,2
65	№ 65	пр. руч. Сусарлытор	кар.	С3	1,8	1,5	1,1	1,0

2 ледника

1,3

1,2

Бассейн р. Джалдзир (реки Атбаси,

Южный склон гор Нарынтау и се

66*	№ 66	пр. р. Джалдзир	пл.-верш.	В	1,0	1,0	0,2	0,2
67*	№ 67	пр. р. Джалдзир	пл.-верш.	ЮВ	0,5	0,5	0,1	0,1
68	№ 68	пр. р. Джалдзир	вис.	3	0,5	0,5	0,1	0,1
69*	Калын-тайгак	Джалдзир	дол.	С	3,3	3,3	3,6	3,5
70	№ 70	пр. р. Джалдзир	вис.	ЮВ	0,3	0,3	0,1	0,1
71	№ 71	пр. р. Джалдзир	кар.-вис.	СВ	0,8	0,8	0,2	0,2
72	№ 72	пр. р. Джалдзир	кар.	СВ	1,0	1,0	0,2	0,2
73	№ 73	пр. р. Джалдзир	кар.-дол.	С	1,2	1,0	0,3	0,2
74	№ 74	пр. р. Джалдзир	кар.-вис.	СВ	0,4	0,4	0,1	0,1
75	№ 75	пр. р. Джалдзир	кар.	С, 3	0,8	0,8	0,2	0,2
76	№ 76	пр. р. Джалдзир	вис.	С	0,4	0,4	0,1	0,1
77	№ 77	пр. р. Джалдзир	вис.	3	0,4	0,4	0,1	0,1
78*	№ 78	пр. р. Джалдзир	кар.-дол.	С	1,1	0,9	0,4	0,4
79	№ 79	пр. р. Джалдзир	вис.	С3	0,5	0,5	0,1	0,1
80	№ 80	пр. р. Джалдзир	кар.-вис.	3	0,7	0,7	0,2	0,2
81	№ 81	пр. р. Джалдзир	дол.	СВ	4,0	3,8	4,5	4,4
82	№ 82	пр. р. Джалдзир	кар.	В	1,6	1,4	0,7	0,6
83	№ 83	пр. р. Джалдзир	вис.	С	0,4	0,4	0,1	0,1
84	№ 84	пр. р. Джалдзир	вис.	СВ	0,3	0,3	0,1	0,1

19 ледников

11,4

11,0

Бассейн руч. Кентор (реки Джалдзир,

Северный склон

85	№ 85	пр. руч. Кентор	дол.	С	1,6	1,4	0,6	0,5
86	№ 86	пр. руч. Кентор	кар.	С	1,2	1,2	0,7	0,7
87	№ 87	пр. руч. Кентор	вис.	С3	0,5	0,5	0,1	0,1
88	№ 88	пр. руч. Кентор	кар.-вис.	С3	0,7	0,7	0,1	0,1
89	№ 89	пр. руч. Кентор	вис.	3	0,5	0,5	0,1	0,1
90	№ 90	пр. руч. Кентор	дол.	С	3,0	2,8	1,9	1,8
91	№ 91	руч. Кентор	дол.	С	3,6	2,7	4,1	3,7
92*	№ 92	пр. руч. Кентор	кар.	В	1,4	1,4	0,4	0,4
93	№ 93	пр. руч. Кентор	кар.-дол.	СВ	1,1	1,1	0,4	0,4
94	№ 94	пр. руч. Кентор	кар.	СВ	1,0	1,0	0,2	0,2

10 ледников

8,6

8,0

Высота, м			Фирновая линия		Площадь области аблации, км ²		Объем льда, км ³	Ссылки на последующие таблицы (илюстрации) № таблиц и иллюстраций порядковый № сведений в таблицах
нижней точки конца ледника	нижней точки открытой части ледника	высшей точки ледника	высота, м	способ определения и дата	общая	в том числе открытой части		
10	11	12	13	14	15	16	17	18

Атбаси, Нарын, Сырдарья, Аральское море)

гор Нарынтау

3940	3940	4200						
3960	3960	4240						
4000	4000	4040						
4000	4000	4360						
3960	4000	4480						
3680	3800	4360						
3940	3940	4320						
3880	3880	4080						
3780	3780	4200						
4320	4320	4580						
3900	3900	4500						

Атбаси, Нарын, Сырдарья, Аральское море)

гор. Нарынтау

3960	3960	4400						IV/2
3880	4000	4480						IV/2

Нарын, Сырдарья, Аральское море)

верный склон хр. Джанги-Джер

4000	4000	4360						
4040	4040	4280						
4040	4040	4350						
3840	3840	4880	4160	АФС 12/IX-59 г.	1,6	1,5		V/10
4460	4460	4720						
4080	4080	4640						
3960	3960	4360						
3960	4040	4480	4120	АФС 12/IX-59 г.	0,2	0,1		
4260	4260	4360						
4220	4220	4800						
4200	4200	4400						
4360	4360	4840						
4040	4120	4600	4200	АФС 12/IX-59 г.	0,1	0,1		
4240	4240	4600						
4140	4140	4600						
3800	3840	4780	4280	АФС 12/IX-59 г.	1,6	1,5		V/10
4200	4240	4680	4360	АФС 12/IX-59 г.	0,4	0,3		V/10
4080	4080	4320						
4200	4200	4360						

Атбаси, Нарын, Сырдарья, Аральское море)

хр. Джанги-Джер

4020	4080	4830						
3960	3960	4640	4200	АФС 12/IX-59 г.	0,2	0,2		
4120	4120	4400						
4080	4080	4600						
4400	4400	4600						
3880	3920	4680	4240	АФС 12/IX-59 г.	0,8	0,7		V/10
3840	3920	4720	4140	АФС 12/IX-59 г.	1,1	0,7		V/10
4200	4200	4680						
3880	3880	4360	4080	АФС 12/IX-59 г.	0,2	0,2		
4040	4040	4420	4120	АФС 12/IX-59 г.	0,1	0,1		

№ по схеме	Название	Название реки, вытекающей из ледника	Морфологический тип	Общая экспозиция	Наибольшая длина, км		Площадь, км²	
					всего ледника	в том числе открытой части	всего ледника	в том числе открытой части
	1	2	3	4	5	6	7	8

Бассейны левых безымянных притоков р. Джалджир между ручьями Кентор

Северный склон

95	№ 95	пр. р. Джалджир	кар.-вис	C	0,5	0,5	0,1	0,1
96	№ 96	пр. р. Джалджир	кар.	C3	0,5	0,5	0,1	0,1
97	№ 97	пр. р. Джалджир	кар.	C	1,2	1,0	0,5	0,4
98	№ 98	пр. р. Джалджир	кар.	C3	0,6	0,6	0,3	0,3
99	№ 99	пр. р. Джалджир	кар.	C3	0,7	0,7	0,2	0,2
100	№ 100	пр. р. Джалджир	вис.	C3	0,4	0,4	0,1	0,1

6 ледников

1,3

1,2

Бассейн руч. Музбулак (реки Джалджир, Северный склон

101	№ 101	пр. руч. Музбулак	кар.-вис.	C3	0,5	0,5	0,1	0,1
102	№ 102	пр. руч. Музбулак	вис.	C	0,3	0,3	0,1	0,1
103	№ 103	пр. руч. Музбулак	кар.	3	0,7	0,7	0,2	0,2
104	№ 104	пр. руч. Музбулак	кар.-вис.	C3	0,7	0,7	0,3	0,3
105	№ 105	пр. руч. Музбулак	кар.	3	0,6	0,6	0,1	0,1
106	№ 106	пр. руч. Музбулак	кар.-вис.	3	0,6	0,6	0,2	0,2
107	№ 107	пр. руч. Музбулак	кар.-дол.	C	2,5	2,3	1,4	1,3
108	№ 108	пр. руч. Музбулак	вис.	C	0,4	0,4	0,1	0,1
109	№ 109	пр. руч. Музбулак	кар.	C	0,8	0,8	0,3	0,3
110	№ 110	пр. руч. Музбулак	кар.-вис.	C3	0,6	0,6	0,2	0,2
111*	№ 111	пр. руч. Музбулак	кар.	C	1,2	1,0	0,3	0,3
112	№ 112	пр. руч. Музбулак	кар.-дол.	C	0,6	0,6	0,2	0,2
113*	№ 113	руч. Музбулак	дол.	C	1,4	1,3	0,7	0,7
114	№ 114	пр. руч. Музбулак	кар.-вис.	C	0,8	0,8	0,2	0,2
115	№ 115	пр. руч. Музбулак	кар.-вис.	CB	0,6	0,6	0,1	0,1

15 ледников

4,5

4,4

Кроме того, в бассейне руч. Музбулак имеется 3 ледника размерами менее 0,1 км² каждый, общей площадью 0,2 км²

Итого 18 ледников

4,7

4,6

Бассейн руч. Сарытор (реки Джалджир, Северный склон

116	№ 116	руч. Сарытор	кар.-вис.	C	0,6	0,6	0,2	0,2
1	ледник							

Бассейн безымянного ручья между руч. Сарытор и Кенсу

Северный склон

117	№ 117	пр. р. Джалджир	кар.-дол.	C3	1,2	0,9	0,4	0,3
118*	№ 118	пр. р. Джалджир	кар.-вис.	C	(0,5)	(0,5)	(0,1)	(0,1)
2	ледника						(0,5)	(0,4)

2 ледника

...

Бассейн руч. Кенсу (реки Джалджир, Северный склон

119	№ 119	пр. руч. Чонтор	вис.	C3	0,4	0,4	0,1	0,1
120*	№ 120	пр. руч. Чонтор	вис.	C3	0,3	0,3	0,1	0,1
121	№ 121	пр. руч. Чонтор	дол.	C	1,5	1,3	0,6	0,5
122	№ 122	пр. руч. Чонтор	вис.	CB	0,4	0,4	0,1	0,1
123	№ 123	пр. руч. Чонтор	вис.	C	0,4	0,4	0,1	0,1
124*	№ 124	пр. руч. Чонтор	кар.	CB	1,4	1,2	0,5	0,5
125*	№ 125	руч. Чонтор	кар.	C	1,3	1,2	0,7	0,7
126	№ 126	пр. руч. Чонтор	кар.-вис.	CB	0,7	0,7	0,2	0,2
127	№ 127	пр. руч. Кенсу	кар.-вис.	CB	0,6	0,6	0,2	0,2
128	№ 128	пр. руч. Кенсу	кар.-вис.	C3	0,5	0,5	0,1	0,1
129*	№ 129	руч. Кенсу	кар.	C	0,9	0,7	0,5	0,5
130	№ 130	пр. руч. Кенсу	кар.-дол.	C	1,4	1,4	0,6	0,6
131	№ 131	пр. руч. Кенсу	кар.	C	1,0	0,8	0,5	0,4
132	№ 132	пр. руч. Кенсу	кар.-вис.	C	0,6	0,6	0,1	0,1

14 ледников

4,4

4,2

Кроме того, в бассейне руч. Кенсу имеется 9 ледников размерами менее 0,1 км² каждый, общей площадью 0,4 км²

Итого 23 ледника

4,8

4,6

Высота, м			Фирновая линия		Площадь области аблации, км ²		Объем льда, км ³	Ссылки на последующие таблицы (илюстрации) № таблиц и иллюстраций порядковый № сведений в таблицах
нижней точки конца ледника	нижней точки открытой части ледника	высшей точки ледника	высота, м	способ определения и дата	общая	в том числе открытой части		
10	11	12	13	14	15	16	17	18

и Музбулак (реки Джалджир, Атбashi, Нарын, Сырдарья, Аральское море)

хр. Джанги-Джер

3840	3840	4160						
4080	4080	4260						
3800	3840	4280	4100	АФС 12/IX-59 г.	0,3	0,2		
3920	3920	4240	4080	АФС 12/IX-59 г.	0,2	0,2		
3920	3920	4400	4080	АФС 12/IX-59 г.	0,1	0,1		
3960	3960	4120						

Атбashi, Нарын, Сырдарья, Аральское море)

хр. Джанги-Джер

4160	4160	4280						
3960	3960	4120						
4040	4040	4440						
3800	3800	4280						
4200	4200	4600						
4040	4040	4600						
3730	3760	4400	4200	АФС 12/IX-59 г.	0,8	0,7		
4240	4240	4640						
4040	4040	4520	4200	АФС 12/IX-59 г.	0,1	0,1		
4080	4080	4160						
3940	3960	4120	4080	АФС 12/IX-59 г.	0,1	0,1		
4000	4000	4200	4100	АФС 12/IX-59 г.	0,1	0,1		
3880	3900	4400	4120	АФС 12/IX-59 г.	0,3	0,3		
4080	4080	4400						
4080	4080	4520						

Атбashi, Нарын, Сырдарья, Аральское море)

хр. Джанги-Джер

3920	3920	4350	4100	АФС 12/IX-59 г.	0,1	0,1		
------	------	------	------	-----------------	-----	-----	--	--

(реки Джалджир, Атбashi, Нарын, Сырдарья, Аральское море)

хр. Джанги-Джер

3920 (4120)	4040 (4120)	4480 4360	4160	АФС 12/IX-59 г.	0,2	0,1		
----------------	----------------	--------------	------	-----------------	-----	-----	--	--

Атбashi, Нарын, Сырдарья, Аральское море)

хр. Джанги-Джер

4080	4080	4320						
4440	4440	4660						
3940	4000	4440	4120	АФС 12/IX-59 г.	0,3	0,2		
4000	4000	4400						
3960	3960	4200						
3970	3980	4690	4120	АФС 12/IX-59 г.	0,2	0,2		
3940	3980	4360	4100	АФС 12/IX-59 г.	0,3	0,3		
4160	4160	4440						
3920	3920	4280						
4080	4080	4240						
3960	4000	4360	4120	АФС 12/IX-59 г.	0,2	0,2		
3800	3800	4440	4120	АФС 12/IX-59 г.	0,2	0,2		
3840	3900	4460	4140	АФС 12/IX-59 г.	0,3	0,2		
4000	4000	4280						

№ по схеме	Название	Название реки, вытекающей из ледника	Морфологический тип	Общая экспозиция	Наибольшая длина, км		Площадь, км²	
					всего ледника	в том числе открытой части	всего ледника	в том числе открытой части
1	2	3	4	5	6	7	8	9

**Бассейн р. Акбайтал (реки Джалдзир,
Северный склон)**

133	№ 133	пр. р. Акбайтал	кар.	C3	0,8	0,6	0,4	0,3
134	№ 134	Акбайтал	кар.	CB	0,8	0,8	0,3	0,3
135	№ 135	пр. р. Акбайтал	кар.	C	1,2	1,0	0,4	0,3
		3 ледника					1,1	1,0

**Бассейн безымянного ручья между р. Акбайтал и руч. Чараташ
Северный склон**

136	№ 136	пр. р. Джалдзир	вис.	C	0,6	0,6	0,2	0,2
		1 ледник					0,2	0,2

**Бассейн руч. Чараташ (реки Джалдзир,
Северный склон)**

37	№ 137	руч. Чараташ	вис.	C	0,4	0,4	0,1	0,1
138	№ 138	пр. руч. Чараташ	вис.	C	0,5	0,5	0,2	0,2
		2 ледника					0,3	0,3

**Бассейн р. Кельяйрык (реки Джалдзир,
Северный склон)**

139*	№ 139	пр. р. Ташайрык	вис.	C	0,3	0,3	0,1	0,1
140	№ 140	Кельяйрык	кар.	C	1,2	0,9	0,5	0,4
141	№ 141	Кельяйрык	кар.	C	1,3	1,1	0,4	0,3
142	№ 142	руч. Джиланач	кар.-дол.	C	1,1	0,9	0,4	0,3
		4 ледника					1,4	1,1

**Бассейн р. Арчалы (реки Джалдзир,
Северный склон)**

143	№ 143	пр. р. Арчалы	кар.	C	0,7	0,7	0,4	0,4
144	№ 144	Арчалы	кар.	C	0,4	0,4	0,1	0,1
		2 ледника					0,5	0,5

**Бассейн руч. Уюрме (реки Атбаси,
Юго-восточный)**

145	№ 145	пр. руч. Уюрме	кар.	CB	0,6	0,6	0,2	0,2
146*	№ 146	пр. руч. Уюрме	кар.	CB	0,7	0,6	0,2	0,2
147*	№ 147	пр. руч. Уюрме	кар.	C	0,7	0,5	0,2	0,2
		3 ледника					0,6	0,6

**Бассейн руч. Кенджилга (реки Атбаси,
Северный склон)**

148*	№ 148	пр. руч. Кенджилга	кар.	C	0,4	0,3	0,1	0,1
149	№ 149	пр. руч. Кенджилга	кар.	C3	0,7	0,7	0,2	0,2
150	№ 150	руч. Кенджилга	кар.-дол.	C3	0,8	0,8	0,2	0,2
151	№ 151	руч. Ортотор	дол.	C3	1,4	1,4	0,6	0,6
152	№ 152	пр. руч. Ортотор	кар.-дол.	C	0,6	0,6	0,1	0,1
153	№ 153	пр. руч. Ортотор	кар.-дол.	C	0,9	0,9	0,3	0,3
154	№ 154	пр. руч. Талдысу	кар.	C	0,8	0,8	0,1	0,1
155	№ 155	пр. руч. Талдысу	кар.	C	0,6	0,6	0,2	0,2
156	№ 156	пр. руч. Талдысу	кар.	C	0,5	0,5	0,1	0,1
157	№ 157	руч. Талдысу	вис.	C	0,4	0,4	0,1	0,1
158	№ 158	пр. руч. Талдысу	кар.-дол.	CB	1,3	1,0	0,5	0,4
159*	№ 159	пр. руч. Кенджилга	кар.	C	0,4	0,4	0,1	0,1
160	№ 160	пр. руч. Кенджилга	дол.	C	1,6	1,6	0,4	0,4
161	№ 161	пр. руч. Джолбогошты	кар.-дол.	C3	1,1	1,1	0,4	0,4

Высота, м			Фирновая линия		Площадь области аблации, км ²		Объем льда, км ³	Ссылки на последующие таблицы (илюстрации) № таблиц и иллюстраций порядковый № сведений в таблицах
низшей точки конца ледника	низшей точки открытой части ледника	высшей точки ледника	высота, м	способ определения и дата	общая	в том числе открытой части		
10	11	12	13	14	15	16	17	18

Атбаси, Нарын, Сырдарья, Аральское море)

хр. Джанги-Джер

3950	4000	4280						
3880	3880	4240						
3860	3880	4200	4000	АФС 12/IX-59 г.	0,2	0,1		

(реки Джалджир, Атбаси, Нарын, Сырдарья, Аральское море)

хр. Джанги-Джер

3880	3880	4200						
------	------	------	--	--	--	--	--	--

Атбаси, Нарын, Сырдарья, Аральское море)

хр. Джанги-Джер

3960	3960	4190						
3900	3900	4120						

Атбаси, Нарын, Сырдарья, Аральское море)

хр. Джанги-Джер

3960	3960	4120						
3860	3940	4440	4040	АФС 12/IX-59 г.	0,2	0,1		
3880	3920	4440	4040	АФС 12/IX-59 г.	0,2	0,1		
3880	3940	4450	4100	АФС 12/IX-59 г.	0,2	0,1		

Атбаси, Нарын, Сырдарья, Аральское море)

хр. Джанги-Джер

3860	3860	4280						
3900	3900	4080	4040	АФС 12/IX-59 г.	0,2	0,2		

Нарын, Сырдарья, Аральское море)

склон хр. Атбаси

3920	3920	4140						
3920	3960	4160	4000	АФС 6/IX-63 г.	0,1	0,1		
3900	3940	4160						V/10

Нарын, Сырдарья, Аральское море)

хр. Атбаси

3780	3840	4000						
3760	3760	4000	3940	АФС 6/IX-63 г.	0,1	0,1		
3820	3820	3960						
3760	3760	4420	3880	АФС 6/IX-63 г.	0,2	0,2		
3740	3740	4120						
3740	3740	4160						
3860	3860	4160	4000	АФС 6/IX-63 г.	0,1	0,1		
3840	3840	4120						
3780	3780	4000	3980	АФС 6/IX-63 г.	0,3	0,2		
3950	3950	4010						
3760	3860	4240						
3800	3800	3960	3960	АФС 6/IX-63 г.	0,1	0,1		
3800	3800	4320	4080	АФС 6/IX-63 г.	0,2	0,2		
3800	3800	4360	3940	АФС 6/IX-63 г.	0,1	0,1		

№ по схеме	Название	Название реки, вытекающей из ледника	Морфологический тип	Общая экспозиция	Наибольшая длина, км		Площадь, км²	
					всего ледника	в том числе открытой части	всего ледника	в том числе открытой части
1	2	3	4	5	6	7	8	9
162	№ 162	пр. руч. Джолбогошты	кар.-вис.	C3	0,4	0,4	0,1	0,1
163	№ 163	пр. руч. Джолбогошты	кар.	C3	0,8	0,8	0,3	0,3
164	№ 164	пр. руч. Джолбогошты	кар.-вис.	C	0,4	0,4	0,1	0,1
165	№ 165	пр. руч. Джолбогошты	вис.	C	0,5	0,5	0,1	0,1
166	№ 166	пр. руч. Джолбогошты	кар.-вис.	C	0,4	0,4	0,1	0,1
167	№ 167	руч. Джолбогошты	кар.	CB	1,0	1,0	0,3	0,3
168	№ 168	пр. руч. Джолбогошты	кар.	CB	0,9	0,9	0,2	0,2
169	№ 169	пр. руч. Джолбогошты	кар.	B	0,6	0,6	0,1	0,1
22 ледника							4,7	4,6
Бассейн руч. Туюкбогошты (реки Атбаси, Северный склон)								
170	№ 170	пр. руч. Туюкбогошты	дол.	CB	1,2	1,2	0,4	0,4
171	№ 171	пр. руч. Туюкбогошты	дол.	CB	1,1	1,1	0,3	0,3
172	№ 172	пр. руч. Туюкбогошты	кар.-дол.	C	1,2	1,2	0,7	0,7
173*	№ 173	руч. Туюкбогошты	котл.	C	(2,5)	1,9	(3,0)	2,3
174	№ 174	пр. руч. Туюкбогошты	кар.	CB	0,8	0,8	0,1	0,1
5 ледников							(4,5)	3,8
Бассейн руч. Баш-Кайнды (реки Атбаси, Северный склон)								
175	№ 175	пр. руч. Баш-Кайнды	дол.	C	1,7	1,7	0,4	0,4
176	№ 176	пр. руч. Баш-Кайнды	кар.	C	0,5	0,5	0,1	0,1
177	№ 177	пр. руч. Баш-Кайнды	кар.	C	0,8	0,8	0,4	0,4
178	№ 178	пр. руч. Баш-Кайнды	кар.	C	0,6	0,5	0,4	0,3
179	№ 179	руч. Баш-Кайнды	кар.-дол.	CB	1,4	1,2	0,8	0,7
180	№ 180	пр. руч. Баш-Кайнды	кар.	CB	1,2	0,9	0,4	0,3
181*	№ 181	пр. руч. Баш-Кайнды	дол.	C	(1,3)	0,3	(0,5)	0,2
182	№ 182	пр. руч. Баш-Кайнды	дол.	CB	2,8	1,4	0,9	0,4
183	№ 183	пр. руч. Баш-Кайнды	вис.	CB	0,6	0,6	0,1	0,1
184	№ 184	руч. Тюгун	вис.	C	0,6	0,6	0,1	0,1
10 ледников							(4,1)	3,0
Бассейн р. Орто-Кайнды (реки Атбаси, Северный склон)								
185*	№ 185	Орто-Кайнды	дол.	C3	1,4	1,4	0,9	0,8
186	№ 186	пр. р. Орто-Кайнды	кар.-дол.	C3	0,8	0,8	0,3	0,3
187	№ 187	пр. р. Орто-Кайнды	дол.	C	1,5	1,0	0,6	0,4
188*	№ 188	пр. р. Орто-Кайнды	вис.-дол.	C	1,6	1,6	0,6	0,5
189	№ 189	пр. р. Орто-Кайнды	дол.	C	2,3	1,7	1,2	1,0
190	№ 190	пр. р. Орто-Кайнды	дол.	C	2,0	1,8	1,0	0,9
6 ледников							4,6	3,9
Бассейн р. Ача-Кайнды (реки Атбаси, Северный склон)								
191	№ 191	пр. р. Ача-Кайнды	дол.	C	2,6	2,2	1,7	1,6
192	№ 192	пр. р. Ача-Кайнды	вис.	C3	0,5	0,5	0,1	0,1
193*	№ 193	Ача-Кайнды	кар.	CB	2,9	2,9	3,4	3,3
194	№ 194	пр. р. Ача-Кайнды	дол.	CB, C	4,2	4,2	2,8	2,8
195	№ 195	пр. р. Ача-Кайнды	кар.	C	0,6	0,6	0,1	0,1
196	№ 196	пр. р. Ача-Кайнды	кар.-вис.	CB	1,0	1,0	0,4	0,4
197	№ 197	пр. р. Ача-Кайнды	кар.-дол.	CB	2,2	2,2	1,2	1,2
198	№ 198	пр. р. Ача-Кайнды	кар.	B	0,8	0,8	0,2	0,2
199	№ 199	пр. р. Ача-Кайнды	кар.-вис.	B	0,8	0,8	0,2	0,2
9 ледников							10,1	9,9
Бассейн р. Терексу (реки Атбаси, Северный склон)								
200	№ 200	пр. р. Терексу	кар.-дол.	C	1,2	1,0	0,4	0,3
201	№ 201	пр. р. Терексу	вис.-дол.	C3	0,8	0,8	0,3	0,3
202	№ 202	Терексу	дол.	CB	2,6	2,6	1,4	1,4

Высота, м			Фирновая линия		Площадь области аблации, км ²		Объем льда, км ³	Ссылки на последующие таблицы (илюстрации) № таблиц и иллюстраций порядковый № сведений в таблицах
нижней точки конца ледника	нижней точки открытой части ледника	высшей точки ледника	высота, м	способ определения и дата	общая	в том числе открытой части		
10	11	12	13	14	15	16		
4000	4000	4200						
3840	3840	4320						
3900	3900	4040						
4000	4000	4240						
3900	3900	4160						
3900	3900	4200	3980	АФС 6/IX-63 г.	0,1	0,1		
3920	3920	4320	4020	АФС 6/IX-63 г.	0,1	0,1		
3940	3940	4200						

Нарын, Сырдарья, Аральское море)

хр. Атбаши

3880	3880	4200	4000	АФС 6/IX-63 г.	0,1	0,1		
3840	3840	4280	3940	АФС 6/IX-63 г.	0,1	0,1		
3860	3860	4320	3960	АФС 6/IX-63 г.	0,2	0,2		
(3760)	3880	4360	4000	АФС 6/IX-63 г.	1,4	0,7		
3880	3880	4200						IV/2; V/10; рис. 11

Нарын, Сырдарья, Аральское море)

хр. Атбаши

3860	3860	4380						V/10
3900	3900	4120						
3720	3720	4080	3920	АФС 6/IX-63 г.	0,2	0,2		
3900	3940	4240						
3820	3880	4290	4000	АФС 6/IX-63 г.	0,3	0,2		
3900	3940	4240	4060	АФС 6/IX-63 г.	0,2	0,1		
(3540)	3800	4250						
3500	3800	4240	3960	АФС 6/IX-63 г.	0,7	0,2		V/10
4040	4040	4340						V/10
3920	3920	4340						

Нарын, Сырдарья, Аральское море)

хр. Атбаши

3800	3800	4420	4060	АФС 6/IX-63 г.	0,4	0,3		
3820	3820	4200						IV/2; V/10
3620	3720	4200						IV/2; рис. 4
3640	3640	4240						IV/2
3520	3740	4200						IV/1, 2
3560	3600	4360						IV/1
								IV/1, 2; V/10

Нарын, Сырдарья, Аральское море)

хр. Атбаши

3640	3720	4630					0,064	IV/1, 2; рис. 5
3910	3910	4120					0,119	IV/2
3600	3600	4520						IV/1, 2; V/10; рис. 3
3360	3360	4520						IV/1, 2; рис. 6
3760	3760	4040						IV/2
3800	3800	4240						IV/1
3760	3760	4440						
3980	3980	4240						
3920	3920	4200						

Нарын, Сырдарья, Аральское море)

хр. Атбаши

3780	3800	4370						
3920	3920	4360	4160	АФС 17/VIII-62 г.	1,0	1,0		
3640	3640	4600						IV/2; рис. 7

№ по схеме	Название	Название реки, вытекающей из ледника	Морфологический тип	Общая экспозиция	Наибольшая длина, км		Площадь, км²	
					всего ледника	в том числе открытой части	всего ледника	в том числе открытой части
	1	2	3	4	5	6	7	8
203*	№ 203	пр. р. Терексу	кар.	B	0,8	0,6	0,1	0,1
204*	№ 204	пр. р. Терексу	кар.	B	0,6	0,6	0,1	0,1
							2,3	2,2
		5 ледников						

Бассейн руч. Кембель (реки Каракоюн, Северный склон)

205	№ 205	пр. руч. Кембель	кар.	C	0,6	0,6	0,1	0,1
206*	№ 206	пр. руч. Кембель	дол.	C	2,4	2,4	1,3	1,1
207	№ 207	пр. руч. Кембель	вис.-дол.	CB	1,3	1,3	0,3	0,3
208	№ 208	руч. Кембель	дол.	C	1,6	1,3	0,8	0,7
209	№ 209	пр. руч. Кембель	кар.	B	1,1	1,1	0,2	0,2
210	№ 210	пр. руч. Кембель	кар.	CB	1,0	1,0	0,4	0,4
211*	№ 211	пр. руч. Кембель	вис.	CB	0,6	0,6	0,1	0,1
							3,2	2,9
		7 ледников						

Бассейн безымянного ручья между ручьями Кембель и Четкельтубек Северный склон

212	№ 212	пр. р. Каракоюн	кар.	C3	0,8	0,8	0,3	0,3
213*	№ 213	пр. р. Каракоюн	кар.-вис.	C	0,6	0,5	0,1	0,1
214	№ 214	пр. р. Каракоюн	кар.-вис.	C	0,6	0,6	0,1	0,1
		3 ледника					0,5	0,5

Бассейн руч. Четкельтубек (реки Каракоюн, Северный склон)

215	№ 215	пр. руч. Четкельтубек	кар.	C3	1,1	1,1	0,3	0,3
216	№ 216	пр. руч. Четкельтубек	кар.	C3	0,3	0,3	0,1	0,1
217	№ 217	пр. руч. Четкельтубек	кар.-вис.	C3	0,4	0,4	0,1	0,1
218	№ 218	пр. руч. Четкельтубек	вис.	3	0,4	0,4	0,1	0,1
219	№ 219	пр. руч. Четкельтубек	кар.-дол.	C3	1,5	1,5	1,3	1,3
220	№ 220	руч. Четкельтубек	дол.	C	3,0	3,0	2,3	2,3
221*	№ 221	пр. руч. Капак	дол.	C3	2,0	2,0	1,0	0,9
222*	№ 222	руч. Капак	дол.	C	1,4	1,2	0,5	0,5
223*	№ 223	руч. Капак	дол.	C	1,4	1,0	0,6	0,6
		9 ледников					6,3	6,2

Кроме того, в бассейне руч. Четкельтубек имеется 1 ледник площадью менее 0,1 км²

Итого 10 ледников

6,4

6,3

Бассейн руч. Орто-Кельтубек (реки Каракоюн, Северный склон)

224*	№ 224	пр. руч. Орто-Кельтубек	вис.-дол.	C	2,4	2,4	2,5	2,2
225	№ 225	пр. руч. Орто-Кельтубек	вис.-дол.	C3	1,0	0,6	0,5	0,4
226	№ 226	руч. Орто-Кельтубек	вис.-дол.	C	2,3	1,7	2,3	1,8
227	№ 227	пр. руч. Орто-Кельтубек	кар.-вис.	CB	1,2	1,2	1,0	1,0
228*	№ 228	пр. руч. Орто-Кельтубек	кар.	B	0,5	0,4	0,1	0,1
		5 ледников					6,4	5,5

Бассейн руч. Баш-Кельтубек (реки Каракоюн, Северный склон)

229	№ 229	пр. руч. Кенешарык	кар.	C3	0,7	0,7	0,2	0,2
230	№ 230	пр. руч. Кенешарык	вис.	C3	0,6	0,6	0,1	0,1
231*	№ 231	руч. Кенешарык	кар.-дол.	C, C3	1,2	1,1	0,4	0,4
232*	№ 232	пр. руч. Кенешарык	вис.-дол.	C	1,7	0,4	0,6	0,1
233*	№ 233	пр. руч. Баш-Кельтубек	вис.	C	0,4	0,3	0,1	0,1
234	№ 234	пр. руч. Баш-Кельтубек	вис.	CB	0,4	0,4	0,1	0,1
235	№ 235	пр. руч. Баш-Кельтубек	кар.-вис.	C	0,7	0,7	0,2	0,2
236*	№ 236	пр. руч. Баш-Кельтубек	кар.	C	1,0	0,8	0,4	0,4
237	№ 237	пр. руч. Баш-Кельтубек	вис.	C3	0,6	0,6	0,2	0,2
238	№ 238	руч. Баш-Кельтубек	кар.	C	0,9	0,9	0,4	0,4
239	№ 239	пр. руч. Баш-Кельтубек	кар.-вис.	C3	0,6	0,6	0,2	0,2
240*	№ 240	пр. руч. Баш-Кельтубек	вис.	C	0,8	0,6	0,3	0,3
		12 ледников					3,2	2,7

Кроме того, в бассейне ручья Баш-Кельтубек имеется 2 ледника размерами менее 0,1 км² каждый, общей площадью 0,2 км²

Итого 14 ледников

3,3

2,8

Высота, м			Фирновая линия		Площадь области аблации, км ²		Объем льда, км ³	Ссылки на последующие таблицы (илюстрации) № таблиц и иллюстраций порядковый № сведений в таблицах
нижней точки конца ледника	нижней точки открытой части ледника	высшей точки ледника	высота, м	способ, определения и дата	общая	в том числе открытой части		
10	11	12	13	14	15	16	17	18
3940	4040	4360						
4000	4000	4360						

Атбаси, Нарын, Сырдарья, Аральское море)

хр. Атбаси

3910	3910	4200	4160	АФС 17/VIII-62 г.	0,7	0,5	0,042	IV/1, 2; V/10; рис. 8 IV/2; V/10; рис. 8 IV/1, 2;
3660	3660	4480	4080	АФС 17/VIII-62 г.	0,2	0,2		
3720	3720	4360	4100	АФС 17/VIII-62 г.	0,5	0,4		
3710	3800	4320	3960	АФС 17/VIII-62 г.	0,1	0,1		
3840	3840	4120	4000	АФС 17/VIII-62 г.	0,2	0,2		
3870	3870	4200	4200	АФС 17/VIII-62 г.	0,1	0,1		
3940	3940	4200	4200	АФС 17/VIII-62 г.				

(реки Каракоюн, Атбаси, Нарын, Сырдарья, Аральское море)

хр. Атбаси

3840	3840	4080	4000	АФС 17/VIII-62 г.	0,1	0,1		
3720	3760	4040						
3730	3730	4080						

Атбаси, Нарын, Сырдарья, Аральское море)

хр. Атбаси

3950	3950	4480						
4120	4120	4320						
3920	3920	4280						
4240	4240	4440						
3660	3660	4440	3960	АФС 17/VIII-62 г.	0,3	0,3		IV/2
3520	3520	4520	4200	АФС 17/VIII-62 г.	1,2	1,2		IV/2
3760	3760	4400	4200	АФС 17/VIII-62 г.	0,7	0,6	0,020	IV/1; V/10
3720	3840	4320	3960	АФС 17/VIII-62 г.	0,3	0,3	0,007	IV/1, 2
3640	3720	4280	3960	АФС 17/VIII-62 г.	0,3	0,3	0,008	IV/1, 2

Атбаси, Нарын, Сырдарья, Аральское море)

хр. Атбаси

3720	3720	4360	4160	АФС 17/VIII-62 г.	1,8	1,5		
3880	4000	4200	4160	АФС 17/VIII-62 г.	0,3	0,2		
3480	3760	4520	4160	АФС 17/VIII-62 г.	1,7	1,2	0,045	IV/1, 2; рис. 10
3600	3600	4450	4200	АФС 17/VIII-62 г.	0,4	0,4		
3800	3880	4160	4160	АФС 17/VIII-62 г.	0,1	0,1		IV/2

Атбаси, Нарын, Сырдарья, Аральское море)

хр. Атбаси

3880	3880	4160	4040	АФС 17/VIII-62 г.	0,1	0,1		
4100	4100	4480						
3860	3880	4480	4040	АФС 17/VIII-62 г.	0,2	0,2		
3720	4000	4320	4320	АФС 17/VIII-62 г.	0,6	0,1		
4020	4080	4360						
3980	3980	4280						
4100	4100	4400						
3870	4000	4320	4120	АФС 17/VIII-62 г.	0,1	0,1		
3940	3940	4320						
3880	3880	4320	4040	АФС 17/VIII-62 г.	0,2	0,2		
3960	3960	4280						
3800	3880	4280						

0,1 км²

№ по схеме	Название	Название реки, вытекающей из ледника	Морфологический тип	Общая экспозиция	Наибольшая длина, км		Площадь, км ²	
					всего ледника	в том числе открытой части	всего ледника	в том числе открытой части
1	2	3	4	5	6	7	8	9

Бассейн руч. Ширикты (реки Каракоюн,

Северный склон

241	№ 241	пр. руч. Ширикты	кар.	C3	0,6	0,6	0,2	0,2
242	№ 242	пр. руч. Ширикты	кар.-дол.	C	1,1	0,7	0,5	0,4
243*	№ 243	пр. руч. Ширикты	кар.	C	1,1	0,9	0,4	0,4
244	№ 244	пр. руч. Ширикты	кар.-вис.	C	0,5	0,5	0,1	0,1
245	№ 245	пр. руч. Ширикты	присклон.-кар.	C	0,2	0,2	0,1	0,1

5 ледников

Кроме того, в бассейне руч. Ширикты имеется 2 ледника размерами менее 0,1 км² каждый, общей площадью 0,1 км²

Итого 7 ледников

1,4 1,3

1,3 1,2

Бассейн, р. Джинишке (реки Карасу, Каракоюн,

Северный склон

246	№ 246	пр. р. Джинишке	вис.	C3	0,4	0,4	0,2	0,2
247	№ 247	Джинишке	присклон.-кар.	C	0,3	0,3	0,2	0,2
248	№ 248	пр. р. Джинишке	вис.	C	0,4	0,4	0,1	0,1
249*	№ 249	пр. р. Джинишке	кар.	C	0,5	0,4	0,2	0,2

4 ледника

0,7 0,7

Бассейн руч. Бургансу (реки Қарасу, Каракоюн,

Северо-восточные

250	№ 250	пр. руч. Бургансу	кар.-дол.	CB	1,6	1,3	0,7	0,6
251*	№ 251	пр. руч. Бургансу	дол.	C	2,4	2,2	0,8	0,8
252	№ 252	пр. руч. Бургансу	дол.	C	2,0	1,9	1,1	1,0
253	№ 253	руч. Бургансу	дол.	C	1,9	1,9	1,2	1,2

4 ледника

3,8 3,6

Всего в бассейне р. Атбаши 284 ледника общей площадью 113,7 км² (из них моренами покрыто 8,4 км²), в том числе площадью 1,5 км²

ПОЯСНЕНИЯ К ТАБЛИЦЕ I

№ ледников по схеме	Название	№ граф	Пояснение	
			1	2
1	2	3	4	3
59	№ 59	3	Часть стока талых вод по эрозионному врезу идет в р. Улан (приток р. Нарына)	
66, 67	№ 66, 67	3, 5	Сток ледников происходит в двух разных направлениях. Экспозиция ледников определена по оси, соединяющей их высшие и низшие точки	
69	Калынтайгак	2, 8, 9	Ледник имеет местное название, не отображенное на картографических источниках. Площадь открытой части изменилась за счет боковой морены	
92	№ 92		Язык ледника отделен от тела ледника № 91 боковой мореной	
118	№ 118	6—11	Из-за плохого качества аэрофотосъемки длины, площади и высоты ледника определены с понижением точностью	
120	№ 120		Ледник служит одним из источников питания фирнового бассейна ледника № 121	
159	№ 159	15, 16	В момент аэрофотосъемки область абляции занимала всю поверхность ледника	

Высота, м			Фирновая линия		Площадь области аблации, км ²		Объем льда, км ³	Ссылки на последующие таблицы (иллюстрации) № таблиц и иллюстраций порядковый № сведений в таблицах
нижней точки конца ледника	нижней точки открытой части ледника	высшей точки ледника	высота, м	способ определения и дата	общая	в том числе открытой части		
10	11	12	13	14	15	16	17	18

Атбаси, Нарын, Сырдарья, Аральское море)

хр. Атбаси

3960	3960	4320						
3920	4040	4360						
3960	4020	4510						
3960	3960	4340						
4040	4040	4120						

Атбаси, Нарын, Сырдарья, Аральское море)

хр. Атбаси

3840	3840	4080						
3740	3740	4080						
3960	3960	4360						
3940	4000	4280						

Атбаси, Нарын, Сырдарья, Аральское море)

склоны гор Джамантау

4050	4100	4460						
3940	4040	4610						
4040	4060	4610						
4120	4120	4600						

253 ледника размерами более 0,1 км² каждый, общей площадью 112,2 км² и 31 ледник размерами менее 0,1 км² каждый, общей

№ ледников по схеме	Название	№ граф	Пояснение	
			1	2
3	4	5	6	7
173, 181	№ 173, 181	6—11	Из-за неясного положения нижней границы ледников площадь, длина и высота языка определены с пониженной точностью	
185, 188, 193, 206	№ 185, 188, 193, 206	8, 9	Ледник имеет боковые морены	
211	№ 211	15, 16	В момент аэрофотосъемки область аблации занимала всю поверхность ледника	
221, 224	№ 221, 224	8, 9	Ледник имеет боковые морены	
228, 232	№ 228, 232	15, 16	В момент аэрофотосъемки область аблации занимала всю поверхность ледника	
20, 21, 23, 33, 42, 57, 78, 111, 113, 124, 125, 129, 139, 146, 147, 148, 203, 213, 222, 223, 231, 233, 236, 240, 243, 249, 251	№ 20, 21, 23, 33, 42, 57, 78, 111, 113, 124, 125, 129, 138, 146, 147, 148, 203, 213, 222, 223, 231, 233, 236, 240, 243, 249, 251	6—9	Согласно принятому принципу округления, площади погребенных частей ледников не приводятся	

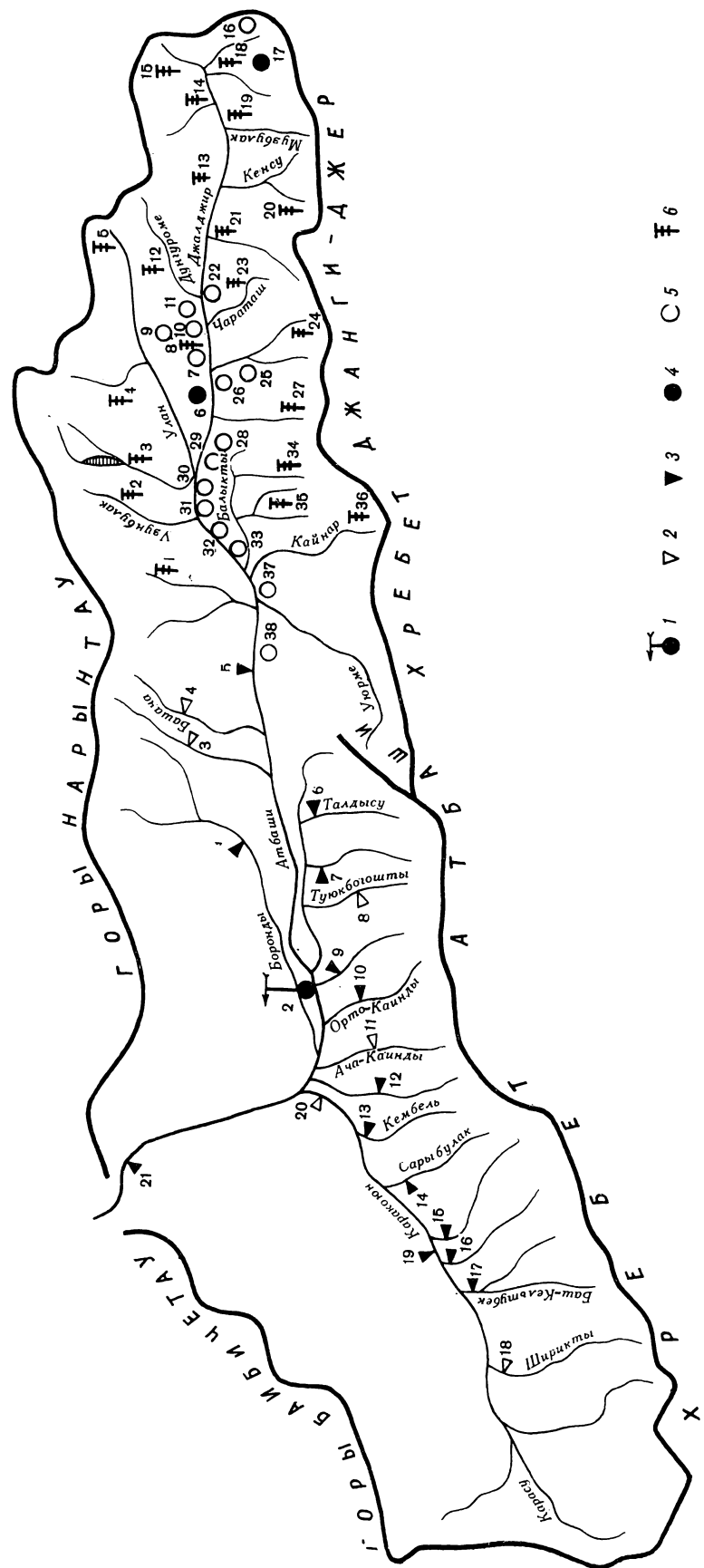


Рис. 19. Схема расположения гидрометеорологических станций и постов, суммарных осадкомеров и снегометрических шупиков в районе ледников
1 — действующие метеорологические станции; 2 — открытые гидрологические посты; 3 — закрытые гидрологические посты; 4 — снегометрические посты; 5 — снегометрические пункты; 6 — дистанционные снегометрические рейки

ТАБЛИЦА II

СПИСОК ГИДРОМЕТЕОРОЛОГИЧЕСКИХ СТАНЦИЙ И ПОСТОВ В РАЙОНЕ ЛЕДНИКОВ

Название реки, в бассейне которой расположена станция	Название станции или поста	Название станции	В чём ведение находитя	Абсолютная высота, м	Площадь водобора гидрометеорологических постов, км ²	Период наблюдений, годы				Дополнительные			
						уровень воды	сток воды	сток на посы	химический состав воды				
1	2	3	4	5	6	7	8	9	10	11	12	13	14
1 Боронды (Атбаши, Нарын, Сырдарья)	гп Боронды, 2,3 км выше с. Аккугус	МВХ КиргССР	2480	77,2	1946, 1947, 1949, 1959, 1960, 1962	1946, 1947, 1949—1952, 1954—1960, 1962							
2 Атбаши (Нарын, Сырдарья)	мст Атбаши	УГМС КиргССР	2025										
3 Ача (Атбаши, Нарын, Сырдарья)	гп Ача	МВХ КиргССР	2680	23,6	1946, 1949, 1960	1946, 1949, 1960							
4 Башача (Атбаши, Нарын, Сырдарья)	гп Башача, в 12 км на северо-восток от с. Акмус	МВХ КиргССР	2780	26,4	1946, 1947, 1949, 1950	1946, 1947, 1949, 1950							
5 Атбаши (Нарын, Сырдарья)	гп устье р.Ичекаманлы, в 0,25 км ниже устья	УГМС КиргССР	2520	1500	1930, 1931, 1936—1945, 1947—1962	1937—1942, 1944, 1945, 1947—1962	1959—1962	1939	1945—1969	1945—1969	1945—1969	1945—1969	
6 руч. Талдысу (руч. Кенджилга, реки Атбаши, Нарын, Сырдарья)	гп Талдысу, в 4 км на юго-восток от с. Талдысу	МВХ КиргССР	2800	22,6	1947, 1955, 1962	1947, 1955, 1962							
7 руч. Джолбогошты (руч. Кенджилга, реки Атбаши, Нарын, Сырдарья)	гп Джолбогошты, в 5,5 км на юго-запад от с. Талдысу	МВХ КиргССР	2630	37,2	1947—1949, 1955, 1962	1947—1949, 1955, 1962							
8 руч. Туюкбогошты (Атбаши, Нарын, Сырдарья)	гп Туюкбогошты, в 2,2 км выше с. 1-е Мая	МВХ КиргССР	2420	45,2	1946, 1947	1946, 1947, 1949, 1950, 1952—1954, 1956—1959, 1961							
9 руч. Баш-Каниды (Атбаши, Нарын, Сырдарья)	гп Баш-Каниды, в 3,5 км на юго-восток от с. Баш-Каниды	МВХ КиргССР	2490	45,2	1946, 1947, 1949, 1962	1946, 1947, 1949, 1950, 1952—1954, 1956—1959, 1961							
10 Орто-Каниды (Атбаши, Нарын, Сырдарья)	гп Орто-Каниды, в 5 км на юго-восток от с. Баш-Каниды	МВХ КиргССР	2340	42,0	1947, 1949, 1955, 1957—1960, 1962	1947, 1949, 1955, 1957—1960, 1962							
11 Ача-Каниды (Атбаши, Нарын, Сырдарья)	гп Ача-Каниды, в 4 км на юг от с. Ойтурская	МВХ КиргССР	2240	64,6	1947, 1949, 1957	1947, 1949, 1957							

№	Название реки, в бассейне которой расположена станция	Название станции или поста	В типе ведении находитсѧ	Абсолютная высота, м	Площадь водосбора гидрологических постов, км²	Период наблюдений, годы				Дополнительные высоты снега			
						уровень воды	сток волны	сток насосов	основные метеорологические				
1	2	3	4	5	6	7	8	9	10	11	12	13	14
12	Терексу (Атбаши, Нарын, Сырдарья)	гп Терексу, в 5 км на юг от Четтобе	МВХ КиргССР	2160	40,1	1947, 1949, 1957, 1959, 1960, 1962	1947, 1949, 1957, 1959, 1960, 1962						
13	руч. Кембелъ (Атбаши, Нарын, Сырдарья)	гп Кембелъ, в 4 км на юго-восток от с. Актала	МВХ КиргССР	2160	37,2	1946, 1947, 1949, 1957—1960, 1962	1946, 1947, 1949, 1957—1960, 1962						
14	Сарыбулак (Кара-коюн, Атбаши, Нарын, Сырдарья)	гп Дон-Сарыбулак, в 2,4 км на юго-восток от с. Актала	МВХ КиргССР	2250	10,9	1957—1962	1957—1962						
15	руч. Четкельтубек (Кара-коюн, Атбаши, Нарын, Сырдарья)	гп Четкельтубек в 3,5 км на юг от с. Пограничник	МВХ КиргССР	2460	86,6	1947, 1949, 1957—1962	1947, 1949, 1957—1962						
16	руч. Орто-Кельтубек (Кара-коюн, Атбаши, Нарын, Сырдарья)	гп Орто-Кельтубек, в 5 км на юго-запад от с. Пограничник	МВХ КиргССР	2440	53,1	1946, 1947, 1949, 1961, 1962	1946, 1947, 1949, 1961, 1962						
17	руч. Баш-Кельтубек (Кара-коюн, Атбаши, Нарын, Сырдарья)	гп Баш-Кельтубек, в 0,5 км ниже устья р. Кенешарык	МВХ КиргССР	2500	148	1946—1949, 1962	1946—1949, 1952						
18	руч. Ширинкты (Кара-коюн, Атбаши, Нарын, Сырдарья)	гп Ширинкты, в 5 км на юг от шоссейной дороги Атбаси-Тургарт	МВХ КиргССР	2680	117	1946, 1947, 1958—1961	1946, 1947, 1949—1961						
19	Кара-коюн (Атбаши, Нарын, Сырдарья)	гп кишл. Каракоюн, в 0,3 км ниже устья руч. Орто-Кельтубек	МВХ КиргССР	2400	1210	1948—1950, 1952—1962	1948—1950, 1952—1962						
20	Кара-коюн (Атбаши, Нарын, Сырдарья)	гп кишл. Кызыл-Дехкан	ТУГМС	2040	1820	1938							
21	Атбаши (Нарын, Сырдарья)	гп кишл. Джангиштаг, в 0,2 км ниже проезжего моста	УГМС КиргССР	1830	5540	1932—1962	1935, 1936, 1939—1962						

ТАБЛИЦА III

**СПИСОК СУММАРНЫХ ОСАДКОМЕРОВ, СНЕГОМЕРНЫХ ПУНКТОВ
И ДИСТАНЦИОННЫХ СНЕГОМЕРНЫХ РЕЕК В РАЙОНЕ ЛЕДНИКОВ**

№ п/п	Название бассейна и номер осадкомера или снегопункта	Местоположение	Absolut- ная высота, м	Экспози- ция склона	Период наблюдений, годы
			4		
1	2	3			
1	Ачакаманды (бассейн р. Атбаси, дср 1)	В долине р. Ачакаманды, в 9,4 км выше устья и в 0,6 км к северо-востоку от места слияния р. Ачакаманды и левого притока	3080	ЮЗ	1968—1969
2	Узунбулак (бассейн р. Атбаси, дср 2)	В долине р. Узунбулак, в 2,9 км выше устья, в верховьях левобережного сая	3000	З	1968—1969
3	Культор (бассейн р. Атбаси, дср 3)	В долине руч. Культор, в 4,1 км выше устья и в 0,2 км к юго-востоку от оз. Культор	3070	ЗЮЗ	1968—1969
4	Джаргалач (бассейн р. Атбаси, дср 4)	В 3,5 км выше устья р. Джаргалач на правобережном склоне долины между двумя сухими саями	3540	ЮВ	1968—1969
5	Улан (бассейн р. Атбаси, дср 5)	В истоках р. Улан, в 2,1 км к западу от перевала Утмек	3740	ЗЮЗ	1968—1969
6	Джалджир (бассейн р. Атбаси, ос 2)	На правом берегу р. Джалджир, в 2,6 км к востоко-северо-востоку от устья р. Арчалы	3350	З	1967—1969
7	Джалджир (бассейн р. Атбаси, сп 12)	На правом берегу р. Джалджир, в 1,5 км выше устья руч. Джиланач	3100	ЮВ	1960—1969
8	Джалджир (бассейн р. Атбаси, дср 15)	На правобережной террасе р. Джалджир, в 3 км выше устья руч. Джиланач	3120	ЮВ	1968—1969
9	Джалджир (бассейн р. Атбаси, сп 13)	На правом берегу р. Джалджир, в 3 км выше устья руч. Джиланач	3120	З	1960—1969
10	Джалджир (бассейн р. Атбаси, сп. 14)	На правом берегу р. Джалджир, в 0,5 км ниже устья руч. Чараташ	3200	ЮЗ	1960—1969
11	Джалджир (бассейн р. Атбаси, сп 15)	На правом берегу р. Джалджир, около устья руч. Аюлотор	3170	ЮВ	1960—1969
12	Дунгуроме (бассейн р. Атбаси, дср 6)	В долине р. Дунгуроме, в 3,4 км выше устья	3360	ЮЮВ	1968—1969
13	Джалджир (бассейн р. Атбаси, дср 8)	На правом берегу р. Джалджир, в 2,9 км выше устья руч. Кенсу	3400	Ю	1968—1969
14	Джалджир (бассейн р. Атбаси, дср 9)	На правом берегу р. Джалджир, выше устья руч. Кунанашу, в 3 км к юго-востоку от перевала Кунанашу	3560	ЮЮЗ	1968—1969
15	приток р. Джалджир (бассейн р. Атбаси, дср 10)	В урочище Калынтайгак на правом берегу р. Джалджир, к юго-востоку от перевала Атджайлау	3660	ССВ	1968—1969
16	Джалджир (бассейн р. Атбаси, сп 17)	В истоках р. Джалджир, в 0,48 км к северо-востоку от языка ледника Калынтайгак	3790	СЗ	1961—1969
17	Джалджир (бассейн р. Атбаси, ос 1)	В истоках р. Джалджир, в 3,2 км к юго-востоку от перевала Калынтайгак	3790	ССВ	1960—1969
18	Приток р. Джалджир (бассейн р. Атбаси, дср 11)	В бассейне левой составляющей р. Джалджир, в 2,7 км выше устья	3780	ССЗ	1968—1969
19	Музбулак (бассейн р. Атбаси, дср 12)	На правом берегу руч. Музбулак, в 1,9 км выше устья и в 0,4 км к северо-востоку от места впадения правого притока	3500	С	1968—1969
20	Кенсу (бассейн р. Атбаси, дср 13)	На левом берегу р. Кенсу, 4,2 км выше устья	3560	СЗ	1968—1969
21	Джалджир (бассейн р. Атбаси, дср 7)	На левом берегу р. Джалджир, в 2,5 км выше устья р. Акбайтал и в 0,45 км к северо-северо-западу от вершины 3647 м	3480	СЗ	1968—1969
22	Джалджир (бассейн р. Атбаси, сп 16)	На левом берегу р. Джалджир, в 0,4 км ниже устья р. Дунгуроме	3790	СЗ	1961—1969
23	Чараташ (бассейн р. Атбаси, дср 14)	В истоках руч. Чараташ, в 9,2 км выше его устья и в 2,4 км к северо-востоку от перевала Чараташ	3880	СВ	1968—1969
24	Кельайрык (бассейн р. Атбаси, дср 16)	В истоках р. Кельайрык в 5,7 км выше устья	3600	СЗ	1968—1969
25	Джиналач (бассейн р. Атбаси, сп 10)	На левом берегу руч. Джиналач, в 3,0 км выше устья	3185	СВ	1960—1969
26	Джалджир (бассейн р. Атбаси, сп 9)	На левом берегу р. Джалджир, в 0,42 км ниже устья руч. Джиналач	3080	С	1960—1969
27	Арчалы (бассейн р. Атбаси, дср 17)	В долине р. Арчалы, в 7 км выше устья, в истоках третьего правого притока	3700	ССВ	1968—1969
28	Джалджир (бассейн р. Атбаси, сп 8)	На левом берегу р. Джалджир, в 0,5 км ниже устья р. Арчалы	2980	С	1960—1969
29	Джалджир (бассейн р. Атбаси, сп 7)	На левом берегу р. Джалджир, в 2 км выше устья р. Улан	2950	С	1960—1969
30	Атбаси (бассейн р. Нарына, сп 6)	На левом берегу р. Атбаси, в 0,75 км ниже руч. Кольтор	2840	СЗ	1960—1969
31	Атбаси (бассейн р. Нарына, сп 5)	На левом берегу р. Атбаси, против устья р. Арчалы	2870	Гориз.	1960—1969
32	Атбаси (бассейн р. Нарына, сп 4)	На левом берегу р. Атбаси, в 5 км ниже устья р. Арчалы	2860	СВ	1960—1969
33	Балыкты (бассейн р. Атбаси, сп 3)	На правом берегу р. Балыкты, в 1,3 км выше устья	2780	Гориз.	1960—1969

№ п/п	Название бассейна и номер осадкомера или спегопункта	Местоположение	Абсолютная высота, м	Экспозиция склона	Период наблюдений, годы
					4
1	2	3			6
34	Каргаджайлау (бассейн р. Атбashi, дср 18)	В долине левой составляющей р. Балыкты, в 1,5 км выше слияния с правой составляющей	3320	ССВ	1968—1969
35	Приток р. Балыкты (бассейн р. Атбashi, дср 19)	На левом берегу р. Балыкты, в 3,9 км к северо-западу от перевала Балыкты	3160	ССЗ	1968—1969
36	Кайнар (бассейн р. Атбashi, дср 20)	В истоках р. Кайнар, в 3,1 км к северо-северо-западу от перевала Кайнар	3360	З	1968—1969
37	Атбashi (бассейн р. Нарына, сп 2)	На левом берегу р. Атбashi, в 0,95 км выше устья руч. Кынды	2720	гориз.	1960—1969
38	Атбashi (бассейн р. Нарына, сп 1)	На левом берегу р. Атбashi, в 1,8 км ниже устья р. Ача-Канды	2670	гориз.	1960—1969

ТАБЛИЦА IV
ЭКСПЕДИЦИОННЫЕ И СТАЦИОНАРНЫЕ ИССЛЕДОВАНИЯ ЛЕДНИКОВ

№ п/п	Номера ледников по схеме	Время проведения работ	Характеристика (состав) проведенных исследований	Организация, проводившая работы	№ источников по табл. V
					1
1	2	3	4	5	6
1	188—191, 193, 194, 197, 206, 208, 221—224, 226	Июль 1963 г.	Рекогносцировочное гляциологическое обследование ледников с проведением полуинструментальной съемки и уточнением их конфигурации по крупномасштабным картам	УГМС КиргССР	
2	34, 37, 39—41, 64, 65, 173, 185—188, 190—195, 202, 206—208, 219, 220, 222—224, 226, 227	Сентябрь 1969 г.	Гляциологическое аэрорекогносцировочное обследование и уточнение изображения ледников на крупномасштабных картах	УГМС КиргССР	

ТАБЛИЦА V
СПИСОК РАБОТ, СОДЕРЖАЩИХ СВЕДЕНИЯ О ЛЕДНИКАХ

№ п/п	Номера ледников по схеме	Авторы и наименование работ	Место издания работ
1	Бассейн р. Атбashi	Благообразов В. А., Бондарев Л. Г. и др. Бассейн р. Нарын. Физико-географическая характеристика	Фрунзе, Изд. АН КиргССР, 1960
2	Бассейн р. Атбashi	Глазовская М. А. К истории развития современных природных ландшафтов Внутреннего Тянь-Шаня	М., Изд. АН СССР, 1953
3	Бассейн р. Атбashi	Горбунов А. П. Вечная мерзлота Тянь-Шаня	Фрунзе, „Илим“, 1967
4	Район оледенения в целом	Забиров Р. Д. Оледенение Средней Азии	Материалы Тянь-Шаньской физ.-геогр. станции, 1958, вып. 1.
5	Район оледенения в целом	Забиров Р. Д. Опыт подсчета площади оледенения Киргизии	Работы Тянь-Шаньской физ.-геогр. станции, 1962, вып. 5.
6	Бассейн р. Атбashi	Иванов Ю. Н. Сток взвешенных наносов рек бассейна Сырдарьи	Тр. САНИГМИ, 1967, вып. 36
7	Бассейн р. Атбashi	Исаев Д. И. Схема геоморфологического деления территории Киргизии	Изв. АН КиргССР 1959, т. 1, вып. 2
8	Район оледенения в целом	Камалов Б. А., Алиев А. О площади оледенения Средней Азии	Тр. САНИГМИ, 1965, вып. 30(45)
9	Бассейн р. Атбashi	Климат Киргизской ССР	Фрунзе, „Илим“, 1965
10	69, 81, 82, 90, 91, 145, 161, 173, 175, 182, 184, 185, 190, 193, 206, 207, 221	Корженевский Н. Л. Каталог ледников Средней Азии	Ташкент, 1930
11	Бассейн р. Атбashi	Материалы наблюдений над снежным покровом и осадками в горах (маршрутные снегомерные съемки и наблюдения по суммарным осадкомерам) за 1963-64 г.	Ташкент, Изд. фотоофсетной лаборатории УГМС УзССР, 1966
12	Бассейн р. Атбashi	Материалы наблюдений над снежным покровом и осадками в горах (маршрутные снегомерные съемки и наблюдения по суммарным осадкомерам) за 1964-65 г.	Ташкент, Изд. фотоофсетной лаборатории УГМС УзССР, 1967
13	Бассейн р. Атбashi	Материалы наблюдений над снежным покровом и осадками в горах (маршрутные снегомерные съемки и наблюдения по суммарным осадкомерам) за 1965-66 г.	Ташкент, Изд. фотоофсетной лаборатории УГМС УзССР, 1968
14	Бассейн р. Атбashi	Новоцци С. Материалы к изысканиям в целях устройства водохранилищ в бассейне р. Сыр-Дарья	Петроград, 1915

№ п/п	Номера ледников по схеме	Авторы и наименование работ	Место издания работ
15	Бассейн р. Атбashi	О п е н л е н д е р Н. В. Почвы Ат-Баши-Каракоюн-ской впадины	В кн. „Почвы средней части Нарын- ского бассейна“. Фрунзе, Изд. АН КиргССР, 1961
16	Бассейн р. Атбashi	П е т р я ш о в а Е. В. Определение коэффициента ва-риации годового стока рек Киргизии в неизученных створах	Тр. КиргНИИВХ, 1965, вып. 4
17	Бассейн р. Атбashi	Р а м а з а н М. С. Некоторые особенности гидрологи-ческого режима и гидрохимическая классификация рек Киргизии	Фрунзе, Изд. АН КиргССР, 1960
18	Бассейн р. Атбashi	Региональная оценка подземного питания рек СССР	Тр. ГГИ, 1968, вып. 154
19	Бассейн р. Атбashi	Рельеф Киргизии	Фрунзе, Изд. АН КиргССР, 1964
20	Бассейн р. Атбashi	Сборник материалов маршрутных снегомерных съемок и наблюдений над осадками в горах Средней Азии и Казахстана за 1958-59—1962-63 гг.	Л., Гидрометеоиздат, 1965
21	Бассейн р. Атбashi	С к в а л е ц к и й Е. Н. Основные черты геоморфоло-гии восточной части Ат-Башинской впадины	Изв. АН КиргССР, 1959, т. 1, вып. 2
22	Бассейн р. Атбashi	Справочник по климату СССР. Вып. 32. Киргизская ССР, часть 4. Влажность воздуха, атмосферные осадки, снежный покров	Л., Гидрометеоиздат, 1969
23	Бассейн р. Атбashi	С у х а ч е в А. Г. Некоторые данные о почвах север-ного склона Ат-Башинского хребта	Тр. отдела почвоведения, АН КиргССР 1958, вып. 7
24	Бассейн р. Атбashi	Т у р з и н В. А. и др. Отчет Ат-Башинской гидрогео-логической партии о результатах работ 1952-53 г.	Фонды геологического управления КиргССР, 1954
25	Бассейн р. Атбashi	Х а мъянова, Н. В. Асинхронность стока крупных рек Средней Азии	Фрунзе, Изд. АН КиргССР, 1961
26	Бассейн р. Атбashi	Ч у п а х и н В. М. Физико-географический профиль западной части Внутреннего Тянь-Шаня	Тр. отдела географии и Тянь-Шань- ской физ.-геогр. станции АН КиргССР, 1958, вып. 1. Фрунзе
27	Бассейн р. Атбashi	Ч у п а х и н В. М. Физическая география Тянь-Шаня	Алма-Ата, Изд. АН КазССР. 1964
28	Бассейн р. Атбashi	Ш у л ъ ц В. Л. Реки Средней Азии	Л., Гидрометеоиздат, 1965

СОДЕРЖАНИЕ

Предисловие	3
Деление Каталога ледников СССР на тома, выпуски и части	4
Список томов, выпусков и частей Каталога ледников в СССР	6
Список принятых сокращений	7
Характеристика географического положения, морфологии, климатических условий и режима ледников	8
Схемы расположения ледников	20

Основные таблицы Каталога ледников

Таблица I. Основные сведения о ледниках	26
Пояснения к таблице I	40
Таблица II. Список гидрометеорологических станций и постов в районе ледников	43
Таблица III. Список суммарных осадкомеров, снегомерных пунктов и дистанционных снегомерных реек в районе ледников	45
Таблица IV. Экспедиционные и стационарные исследования ледников	46
Таблица V. Список работ, содержащих сведения о ледниках	—



Каталог ледников СССР, т. 14, вып. 1, ч. 6

Редактор *И. С. Якорь*
Технический редактор *В. И. Семенова*
Корректоры: *Е. И. Бородина* и *И. А. Каспарова*

Сдано в набор 24/V 1973 г. Подписано в печать 10/XII 1973 г. М-11489. Печ. л. 6. Уч.-изд. л. 6,86.
Формат 60×90^{1/8}. Бум. тип. № 1. Тираж 400 экз. Индекс ГЛ-60. Заказ 1481. Цена 56 коп.
Гидрометеониздат. 199053, Ленинград, 2-я линия, 23

Ленинградская типография № 12 им. М. И. Лоханкова „Союзполиграфпром“ при Государственном комитете Совета Министров СССР по делам издательства, полиграфии и книжной торговли.
196126, Ленинград, ул. Правды, 15